



U. N. A. M.
FACULTAD DE ESTUDIOS
SUPERIORES CUAUTITLÁN

UNIVERSIDAD NACIONAL AUTÓNOMA
DE MÉXICO



Departamento de
Profesionalización

FACULTAD DE ESTUDIOS SUPERIORES
CUAUTITLÁN

DISEÑO DE FÁRMACOS, SÍNTESIS
Y ACTIVIDAD BIOLÓGICO

"ANÁLISIS CUÁNTICO DE PROMOTORES Y/O
RETARDADORES
DE LA ABSORCIÓN DE PRINCIPIOS ACTIVOS".

INFORME DE SERVICIO SOCIAL

QUE PARA OBTENER EL TÍTULO DE:
QUÍMICO FARMACÉUTICO BIÓLOGO

P R E S E N T A:

OSCAR LUIS VÁZQUEZ VALADEZ

ASESORES: DR. ENRIQUE R. ANGELES ANGUIANO
DRA. ADRIANA GANEM RONDERO

CUAUTITLÁN IZCALLI, ESTADO DE MÉXICO

2004



UNAM – Dirección General de Bibliotecas

Tesis Digitales
Restricciones de uso

DERECHOS RESERVADOS ©
PROHIBIDA SU REPRODUCCIÓN TOTAL O PARCIAL

Todo el material contenido en esta tesis está protegido por la Ley Federal del Derecho de Autor (LFDA) de los Estados Unidos Mexicanos (México).

El uso de imágenes, fragmentos de videos, y demás material que sea objeto de protección de los derechos de autor, será exclusivamente para fines educativos e informativos y deberá citar la fuente donde la obtuvo mencionando el autor o autores. Cualquier uso distinto como el lucro, reproducción, edición o modificación, será perseguido y sancionado por el respectivo titular de los Derechos de Autor.

FACULTAD DE ESTUDIOS SUPERIORES CUAUITITLAN

UNIDAD DE LA ADMINISTRACION ESCOLAR
DEPARTAMENTO DE EXAMENES PROFESIONALES



UNIVERSIDAD NACIONAL
MEXICANA
MÉJICO

ASUNTO: VOTOS APROBATORIOS



Departamento de
Exámenes Profesionales

DR. JUAN ANTONIO MONTARAZ CRESPO
DIRECTOR DE LA FES CUAUITITLAN
P R E S E N T E

ATN: Q. Ma. del Carmen García Mijares
Jefe del Departamento de Exámenes
Profesionales de la FES Cuauitlán

Con base en el art. 28 del Reglamento General de Exámenes, nos permitimos comunicar a usted que revisamos :

El Informe de Servicio Social: Diseño de fármacos, síntesis y actividad biológica. "Análisis cuántico de promotores y/o retardadores de la absorción de principios activos".

que presenta el pasante: Oscar Luis Vázquez Valadez
con número de cuenta: 9756475-1 para obtener el título de :
Químico Farmacéutico Biólogo

Considerando que dicho trabajo reúne los requisitos necesarios para ser discutido en el EXAMEN PROFESIONAL correspondiente, otorgamos nuestro VOTO APROBATORIO.

A T E N T A M E N T E

"POR MI RAZA HABLARA EL ESPIRITU"

Cuauitlán Izcalli, Méx. a 30 de Abril de 2003.

PRESIDENTE M. en F.C. Ma. Eugenia R. Posada Galarza

VOCAL Dr. David Quintanar Guerrero

SECRETARIO Dra. Adriana Ganem Rondero

PRIMER SUPLENTE M. en F.C. Beatriz de Jesús Maya Monroy

SEGUNDO SUPLENTE M. en C. Alberto Ramírez Murcia

AGRADECIMIENTOS

A DIOS

Por darme la vida y dejarme realizar una etapa mas en mi vida.

A MIS ASESORES: Dr Enrique R. Angeles, Dra. Adriana Ganem y Dr. David Quintanar.

Con cariño, admiración y respeto, por darme la oportunidad de compartir una etapa de mi vida muy importante, por sus consejos, sugerencias y apoyo durante mi formación como profesionista.

A MIS PROFESORES

Porque gracias a ellos soy un profesionista, con sus conocimientos, contribuyeron a mi formación tanto profesional como humana, incrementando el amor por mi carrera, en especial a los profesores Enrique Angeles, Julio Botello, Alberto Murcia.

A MIS COMPAÑEROS

Porque por ellos tengo gratos recuerdos de esta hermosa etapa de mi vida, brindandome su apoyo, sus experiencias y su tiempo, porque escucharon mis quejas y compartieron mis sueños gracias a todos por ser ahora parte de mi.

DEDICATORIAS

A MI MAMÁ: Maria del Refugio Valadez Rodríguez

Por darme el ejemplo e inculcar en mi los valores de superación, amor y dedicación en la vida, por ser mi maestra y amiga al siempre estar ahí en mis victorias y en mis derrotas. Te admiro mucho mama y estoy muy orgulloso de ti, este trabajo también es tuyo. Gracias por tu confianza Te amo.

A MI PAPÁ: Oscar Luis Vázquez Mosqueda.

Por darme el ejemplo e inculcar en mi los valores de paciencia, tenacidad, decisión y convicción por estar conmigo siempre en las buenas y las malas y ser un apoyo importante en toda mi vida. Estoy muy orgulloso de ti papa y has sido un gran ejemplo ahora te dedico este trabajo que es en gran parte tuyo. Gracias por tu confianza Te amo.

A MI HERMANO: Victor Hugo Vázquez Valadez

Por ser siempre mi mejor amigo, mi camarada. Aunque a veces nos peleamos recuerda que ante todo eres mi hermano y te quiero mucho. Este trabajo te lo dedico a ti para recordarte que puedes llegar a donde tu quieras y lograr lo que deseas, nunca cedas al cansancio, miedo y duda, recuerda tienes que ser mucho mejor que yo porque se bien tu gran capacidad e inteligencia y eso me hará el hermano mas feliz del mundo. Echale ganas Vic.

A MIS ABUELOTOS: Manuel, Consuelo, Pedro y Julieta

Por ser siempre un apoyo muy importante para mi, por darme su gran amor y su confianza, gracias por estar ahí siempre porque se que me cuidan y me guían donde quiera que estén. Los quiero mucho.

A MIS TIOS Y TIAS.

Por darme su amor, apoyo y escucharme cuando lo necesite, de ustedes he aprendido mucho y seguro seguiré aprendiendo mas, gracias por compartir

conmigo su conocimiento por compartir sus vidas con la mía y dejar en mi momentos hermosos y llenos de alegría. Todos ustedes son gran parte de mi ser y agradezco a Dios por ponerlos a mi lado.

A MIS PRIMOS.

Por ser mis amigos y compañeros, gracias por todos los momentos hermosos e inolvidables que han quedado en mi corazón para toda mi vida y espero que tomen esto como un ejemplo para que vean que todas las metas se logran, estoy seguro que llegarán a ser grandes.

A Luis Daniel Pérez Valadez

Este trabajo te lo dedico a ti con todo mi corazón como una muestra de que cuando somos niños muchas veces no valoramos la importancia de la escuela pero estoy seguro que crecerás para ser un hombre de bien. Gracias por ser un incentivo para mi superación y estoy honrado de poder servir como ejemplo para tu formación. Te quiero mucho Dany.

A Zaida.

Por ser mi amiga y compañera. Porque con tu gran amor, apoyo y consejos me has hecho mejorar como persona y profesionista. Sabes lo importante que es el terminar esta etapa de mi vida y poder seguir contando con tu ayuda y cariño en mis futuros proyectos. Estoy muy orgulloso de ti y sé que ambos llegaremos lejos. Nunca te dejes vencer por el miedo ni por la duda haz siempre lo que tu corazón te diga. (gracias por todo Flaca, PP✿ y PPOT✿) TAMMMMB.

A CATALINA

Porque juntos aprendimos el valor de la amistad y compañerismo. Gracias por estar ahí en las buenas y en las malas, juntos crecimos como estudiantes y espero que sigamos creciendo como profesionistas. Te quiero mucho Cata.

A MIS AMIGOS: Jonathan, Juan Carlos, Carmen, Alma y Pablo.

Por tantos años de amistad, porque hemos compartido muchos sueños y
experiencias porque siempre cuento con ustedes para lo que sea. Gracias.

*“..... Cuando el Hombre llega al cielo y cree que está en lo mas alto de todo
lo que existe, mira hacia arriba y se da cuenta que también hay
estrellas y en ese momento su meta es llegar a ellas.....”*

BONJO

INDICE GENERAL

	Página
LISTA DE ABREVIATURAS Y ESTRUCTURAS DE LOS ISOXAZOLES.....	i
INTRODUCCIÓN.....	iv
I. MARCO TEÓRICO.....	1
I.1. PROMOTORES Y/O RETARDADORES.....	1
I.1.1. DEFINICIÓN.....	1
I.1.2. MECANISMO DE ACCIÓN.....	1
I.1.3 EMPLEO DE LOS PROMOTORES Y/O RETARDADORES.....	1
I.1.4. CARACTERÍSTICAS DE LA AZONA®.....	2
I.1.5. CARACTERÍSTICAS DE EL DERMAC ®.....	3
I.2. MODELAJE MOLECULAR POR COMPUTADORA.....	4
I.2.1. DEFINICIÓN.....	3
I.2.2. FUNDAMENTOS DE MODELAJE MOLECULAR POR COMPUTADORA.....	4
I.2.3. USOS DEL MODELAJE MOLECULAR.....	6
I.3. QUÍMICA MEDICINAL.....	8
I.3.1. DEFINICIÓN DE QUÍMICA MEDICINAL.....	8
2. OBJETIVOS.....	10
3. MATERIAL Y EQUIPO.....	11
4. METODOLOGÍA.....	13

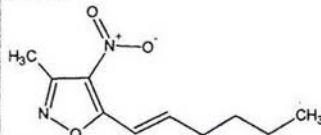
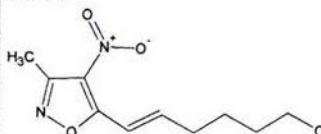
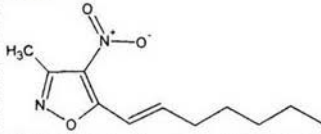
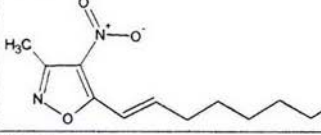
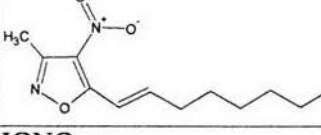
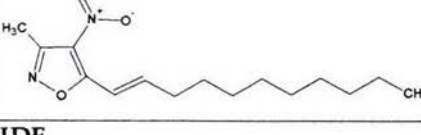
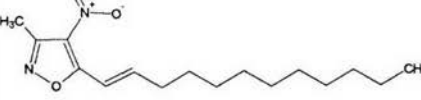
4.1. DETERMINACIÓN DEL CALOR DE FORMACIÓN HEAT FORMATION EN EL PROGRAMA SPARTAN PC EN MODELO PM3.....	13
4.2. DETERMINACIÓN DEL CALOR DE FORMACIÓN HEAT FORMATION EN EL PROGRAMA SPARTAN PC EN MODELO AM1.....	15
4.3. DETERMINACIÓN DE "SINGLE POINT ENERGY 3-21G(*) EN EL PROGRAMA SPARTAN PC.....	16
4.4. DETERMINACIÓN DE LOS PARÁMETROS "ENERGY", "CHARGE", "DIPOLE" EN SPARTAN PC.....	16
4.5. DIBUJO DE LA GRÁFICA DE LOS PARÁMETROS "HOMO", "LUMO", "ELPOT."	16
4.6. DETERMINACIÓN DEL PARÁMETRO DE ENERGÍA TOTAL Y CARGA TOTAL DE LAS MOLÉCULAS A PARTIR DEL PROGRAMA NEMESIS PARA PC.....	19
4.7. DETERMINACIÓN DE PROPIEDADES FISICOQUÍMICAS ASÍ COMO EL DIBUJO DE ESTRUCTURAS EN 2D EN EL PROGRAMA ACDLABS.....	20
5. RESULTADOS Y DISCUSIÓN.....	23
6. CONCLUSIONES.....	31
ANEXOS	
ANEXO 1 TABLAS DE RESULTADOS DE LOS DESCRIPTORES.....	32
ANEXO 2 TABLA DE CORRELACIONES.....	33
REFERENCIAS BIBLIOGRÁFICAS.....	34

LISTA DE ABREVIATURAS

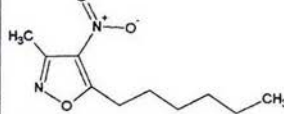
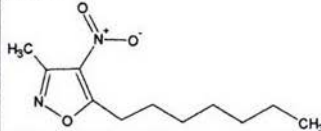
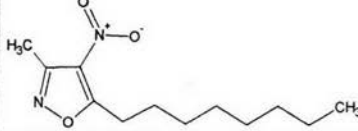
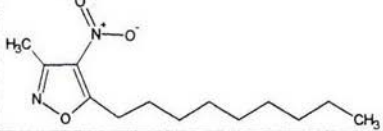
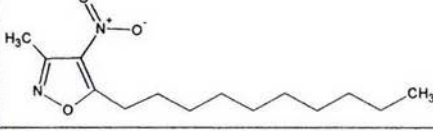
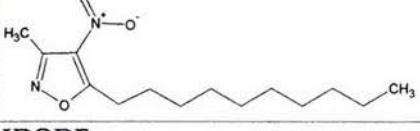
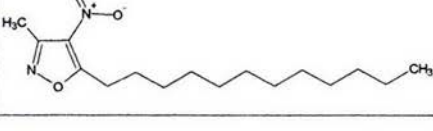
BCF	Factor de Bioconcentración
CFAM1	Calor de Formación en modelo AM1
CFPM3	Calor de formación en modelo PM3
DIAM1	Dipolo en modelo AM1
DIPM3	Dipolo en modelo PM3
DISP321G	Dipolo en modelo SP321G
ELPM3	Elpot en modelo PM3
ELPOT	<i>Densidad electrostática</i>
HOAM1	HOMO en modelo AM1
HOMO	<i>Highest Occupied Molecular Orbital</i>
HOPM3	HOMO en modelo PM3
HOSP321G	HOMO en modelo SP321G
HO_LUAM1	Diferencia HOMO-LUMO en modelo AM1
KOC	Coeficiente de Adsorción
LUMO	<i>Lowest Unoccupied Molecular Orbital</i>
LUPM3	LUMO en modelo PM3
MUPM3	Mulliken en modelo PM3
MUSP321G	Mulliken en modelo SP321G
PM	Peso Molecular
S	Solubilidad

**LISTA DE ABREVIATURAS Y ESTRUCTURAS QUÍMICAS PARA LOS
ISOXAZOLES**

Isoxazoles con doble enlace

IBU1		isoxazol con cuatro átomos de carbono en la cadena variable.
IPEN		isoxazol con cinco átomos de carbono en la cadena variable.
IHE		isoxazol con seis átomos de carbono en la cadena variable.
IHEP		isoxazol con siete átomos de carbono en la cadena variable.
IOC		isoxazol con ocho átomos de carbono en la cadena variable.
IONO		isoxazol con nueve átomos de carbono en la cadena variable.
IDE		isoxazol con diez átomos de carbono en la cadena variable.

Isoxazoles sin doble enlace

IHE 	isoxazol con seis átomos de carbono en la cadena variable.
IHEP 	isoxazol con siete átomos de carbono en la cadena variable.
IOC 	isoxazol con ocho átomos de carbono en la cadena variable.
INO 	isoxazol con nueve átomos de carbono en la cadena variable.
IDE 	isoxazol con diez átomos de carbono en la cadena variable.
IONCE 	isoxazol con once átomos de carbono en la cadena variable.
IDODE 	isoxazol con doce átomos de carbono en la cadena variable.

INTRODUCCIÓN

La Química Medicinal es una ciencia que se apoya en una serie de disciplinas para poder llevar a cabo su función de investigar, desarrollar y modificar agentes terapéuticos, así como generar conocimiento que servirá en un futuro para beneficio de la humanidad¹. En ella cada día se van desarrollando nuevas técnicas y herramientas, las cuales ayudan al investigador a tener una mejor visión general y específica de los compuestos que demanda una sociedad en crecimiento, cuyas necesidades van aumentando. Por eso es necesario llevar a cabo la investigación de todos los parámetros posibles del compuesto o compuestos de interés, a realizarse en el menor tiempo posible con la mayor exactitud y precisión, con el fin de obtener los fundamentos teóricos para que el investigador pueda llegar a la síntesis de nuevas moléculas con un camino definido.

Dentro de la Química Medicinal se encuentran herramientas recientes que viven una etapa relativamente nueva, como es el empleo del modelaje molecular por medio de computadoras, técnica que en un inicio contaba con programas grandes, pesados y solo podían emplearse en las super computadoras con modelos matemáticos que daban poca aproximación y cuya interfase con el usuario era difícil, así como poco manejable. Estos programas eran empleados solo por máquinas tan poderosas, como las Silicon Graphics ®; actualmente pueden ser usados en PC con un equipamiento adecuado, estos permite a los investigadores tener acceso a programas mas confiables, que aporten mayor grado de aproximación y mejoren en mucho la manejabilidad y comprensión del software.

El empleo que se da a estos tipos de programas especializados, radica en que se pueden simular y predecir, de manera muy aproximada a la realidad, diferentes compuestos en un espacio ideal o modificado, de acuerdo a las necesidades de la

investigación. El mayor beneficio que podemos obtener al simular y predecir los la actividad de los compuestos en dicho espacio virtual, es la reducción de tiempo y costo de investigación.

Por otro lado las sustancias que son absorbidas por la piel, ya sea con fines terapéuticos o cosméticos, han sido ampliamente usadas en las últimas décadas. La administración de principios activos por vía cutánea tiene muchas ventajas dentro del área farmacéutica y sin lugar a dudas la más importante es la posibilidad de evitar el efecto del primer paso hepático.^{2,3} Dicho mecanismo de transporte de este tipo de sustancias se lleva a cabo gracias a la adición de promotores y/o retardadores de la absorción que ayuden tanto a la penetración de la sustancia de interés, así como a tener un cierto grado de regulación. El diseñar dichas moléculas de manera racional mediante el uso de métodos computacionales con el empleo de paquetes especializados de modelaje molecular, permite comparar las características de compuestos comerciales, o de conocida actividad biológica de estructuras químicas con potencial respuesta al establecer de manera teórica sus propiedades fisicoquímicas.

En base a lo anterior el propósito de este trabajo es proponer la síntesis de sustancias que actúen como promotores y/o retardadores de la absorción, con el análisis de sus propiedades cuánticas (ELPOT, HOMO, LUMO, etc...) mediante el empleo de software especializado.

I. Marco Teórico

I.1. Promotores y/o retardadores

I.1.1. Definición

Un Promotor y/o retardador es aquella sustancia que incrementa o disminuye la partición y difusión de agentes activos hacia y a través de la barrera de permeabilidad.^{2,4,5}

I.1.2. Mecanismo de acción

Los mecanismos mediante los cuales actúa un promotor o retardador de la absorción son:⁴⁻¹⁰

- a) Extracción de lípidos intercelulares.
- b) Alteración de la barrera enzimática.
- c) Interacción con componentes proteicos.
- d) Incremento de la fluidez de la bicapa lipídica de la membrana, con la consecuente disminución de la temperatura vítrea.
- e) Incremento de la hidratación del estrato córneo.
- f) Codifusión del promotor y el soluto.
- g) Incremento de la actividad termodinámica del soluto.

I.1.3. Empleo de los promotores y/o retardadores

Los promotores y/o retardadores empleados como vehículos de los principios activos son elementos de gran importancia que permitirán la mejor absorción o el control de esta a través de las membranas corporales.^{2,10}

I.1.4. Azona ® Características

La Azona® es la marca registrada del Laurocapram, que tiene por nombres químicos: 1-dodecil azacicloheptan-2-ona, 1-dodecil hexahidro-2H-azepin-2-ona, N-dodecyl-3-caprolactama. Es un derivado de la caprolactama, y se usa como promotor de absorción, agente activo fisiológico y actividad intrínseca antiinflamatoria.^{3,5,7,10}

Es un líquido claro, color ámbar, con masa molecular de 281, punto de fusión de 7°C y punto de ebullición de 160°C a 0.05 mmHg. Su coeficiente de partición octanol/agua es de 6.21, siendo un material muy lipofílico. Es miscible con la mayoría de disolventes orgánicos y ayuda a solubilizar una gran cantidad de fármacos. Se incorpora rápidamente en diferentes formulaciones mostrando una alta estabilidad química y es compatible con la mayoría de los excipientes.¹⁰

Generalmente la Azona® se emplea en concentraciones bajas, 1 a 5 % y su actividad promotora se incrementa por el uso de algún cosolvente, por ejemplo el propilenglicol.

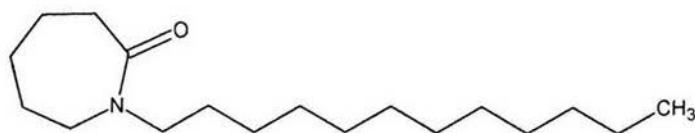


Figura 1. Representación gráfica en 2D en el programa CHEMSKT ACD/LABS de la Azona®.

I.1.5. Dermac ® Características

Dermac® es el nombre comercial de la 4-Deciloxalidin-2-ona, que pertenece a la familia de las oxazolidinonas alifáticas tiene un efecto promotor muy pobre con determinadas sustancias por lo que actúa mejor como retardador sin embargo se ha observado que con otro tipo de sustancias actúa como un promotor incluso mejor que la AZONA pero por un mecanismo diferente a esta.¹⁶

Es efectivo en concentraciones del 5%, al permitir así un incremento en la absorción del fármaco de 2 a 5 veces.

Debido a que presenta una alta estabilidad química, se le ha empleado con éxito en formulaciones tales como cremas, ungüentos, soluciones y geles.

El Dermac® es un sólido blanco que funde a temperaturas relativamente bajas y tiene las siguientes características: fórmula empírica ($C_{13}H_{25}NO_2$); estructura química 4-Deciloxazolidin-2-ona; peso molecular 227; sólido blanco cristalino; punto de fusión de 32-33°C; punto de ebullición de 170°C a 0.2 mmHg. Soluble en disolventes lipofílicos e hidrofílicos y alcoholes, valor de HLB 10.0.¹⁰

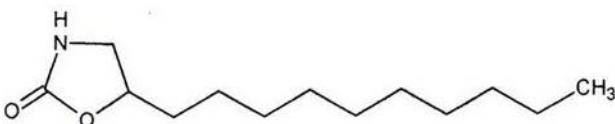


Figura 2. Representación gráfica en 2D en el programa CHEMSKT ACD/LABS de el Dermac®.

I.2. Modelaje Molecular por computadora

I.2.1. Definición

Es la construcción bidimensional y tridimensional de una sustancia o compuesto químico en base a modelos matemáticos los cuales aproximan a la realidad los parámetros fisicoquímicos que de los paquetes especializados se obtienen.¹²

I.2.2. Fundamentos de Modelaje Molecular por computadora

El modelaje molecular comprende la mecánica y la geometría molecular. La mecánica molecular describe moléculas en términos de “átomos conectados”. La geometría molecular en términos de distorsiones describe la distancia “ideal”, ángulos de enlace y ángulos dihédricos con una cantidad de interacciones de no enlaces tipo Van Der Waals y Coulómbica. La premisa básica en la mecánica molecular es el alto grado de transferencia de los parámetros geométricos de una molécula a otra, así como la dependencia previsible de los parámetros de hibridación atómica. Con la capacidad de trabajo (“framework”) de la mecánica molecular, la energía de una molécula es descrita en términos de una suma de contribuciones de las torsiones desde la distancia “ideal” de enlaces, ángulos de enlace y ángulos dihédricos junto con las contribuciones de las interacciones de no enlace.^{13,14}

Las interacciones de no enlace normalmente incluye a las interacciones de Van der Waals así como las interacciones Coulómbicas, con mas frecuencia las primeras son representadas por la suma en términos de repulsión y atracción entre los átomos.¹³

La mecánica cuántica describe a las moléculas en términos de las interacciones entre el núcleo y los electrones, así como la geometría molecular en términos de arreglos de mínima energía del núcleo. Todos los métodos de mecánica cuántica toman como referencia la ecuación de Schrödinger, la cual para el caso especial del átomo de hidrógeno ha sido la única que ha podido ser resuelta de manera exacta (ecuación 1).¹⁵

$$\left[\frac{-\hbar^2}{8\pi^2 m} \Delta^2 + V(x,y,z) \right] W(x,y,z) = EW(x,y,z)$$

Ecuación 1. Ecuación de Schrödinger.

En donde los elementos contenidos en el paréntesis representa la cinética y la energía potencial de un electrón de masa m , una distancia r de la carga nuclear Z (1 en el hidrógeno), \hbar es la constante de Plank, e es la carga del electrón. E representa la energía del electrón y W la función de las coordenadas atómicas la cual es la descripción de “wavefunction” la cual se refiere al movimiento del electrón. Las funciones de onda (“wavefunctions”) para el átomo de hidrógeno son las correspondientes a los orbitales s,p,d... familiares para todos los relacionados con estudios químicos y de diseño de moléculas por vía computacional. Este tipo de ecuación ayuda a calcular la probabilidad de encontrar al electrón dentro del volumen de la molécula la cual es denominada densidad electrónica.¹³

El modelaje molecular y la mecánica cuántica se apoya en una serie de modelos matemáticos y aproximaciones para ayudar a el fundamento de cada uno de los estudios realizados en este tipo de paquetes computacionales.¹³

Los métodos resultantes de la solución de la ecuación de Rotan-Hall son los modelos de Hartree-Fock o *Ab initio*. La energía de Hartree-Fock no es igual a la energía experimental. Los Modelos de Hartree-Fock tratan el movimiento individual de los electrones tal como si uno fuera independiente de otro. Esto nos lleva a una sobreestimación de la energía de repulsión electrón-electrón y también a la energía máxima total.¹³

I.2.3. Usos del Modelaje Molecular

Diseñar moléculas de manera racional mediante el uso de métodos computacionales, con el empleo de paquetes especializados para modelaje molecular, permite comparar las características de compuestos comerciales o de actividad conocida con estructuras químicas con respuesta potencial al establecer de manera teórica sus propiedades fisicoquímicas. Algunas propiedades que el modelaje molecular nos permite conocer son los orbitales de frontera, los cuales son: el orbital molecular ocupado de mayor energía HOMO (del inglés *Highest Occupied Molecular Orbital*), el orbital molecular no ocupado de menor energía LUMO (del inglés *Lowest Unoccupied Molecular Orbital*) y el momento dipolo que entre otras características espaciales sirve para entender el comportamiento de la molécula en el espacio y la interacción de diferentes principios activos. Esta capacidad de predicción permite conocer las posibles propiedades fisicoquímicas que la molécula presentará después de la síntesis en el laboratorio.^{12,15,16,17}

El empleo de paquetes especializados ha permitido con el paso del tiempo que las personas encargadas de proponer síntesis de nuevos compuestos tengan la oportunidad de ver la molécula en un espacio virtual antes de ser creadas en el laboratorio, lo cual posibilita que cada uno de los cálculos realizados en el software, acerquen al investigador a una molécula mas factible de ser elaborada de manera experimental teniendo como consecuencia un ahorro de materia prima y de tiempos de trabajo empírico. La capacidad de los paquetes especializados ha aumentado de tal forma que ahora es posible el ver como interactúan dos moléculas en un espacio virtual tomando en cuenta cada una de sus propiedades fisicoquímicas y haciendo posible que la interacción de un promotor y/o retardador con los principios activos de interés sean observados en cuanto a su comportamiento y acomodo en el espacio virtual permitiendo así una predicción de su comportamiento mutuo en una posible formulación. Ejemplos de el resultado del modelaje molecular en 2 dimensiones y 3 dimensiones se muestran en las Figuras 1 y 2.

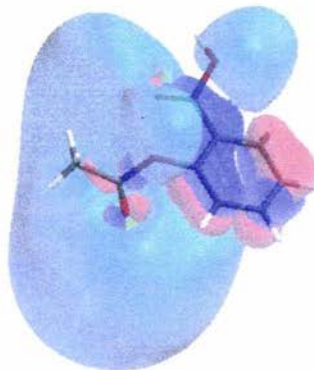
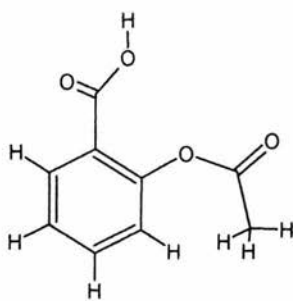


Figura 3. Representación gráfica en 3D del ácido acetil salicílico diseñado en SPARTAN PC® en el cual se muestra a) densidad electrónica (azul claro), b) HOMO (rojo), c) LUMO (azul fuerte), d) enlace C-C (gris), e) enlace C-H (blanco).



Molecular formula	= C ₉ H ₈ O ₄
Molecular Weight	= 180.157
Composition	= C(60.00%) H(4.48%) O(35.52%)
Molar Refractivity	= 44.52 ± 0.3 cm ³
Molar Volume	= 139.5 ± 3.0 cm ³
Parachor	= 370.9 ± 4.0 cm ³
Index of refraction	= 1.550 ± 0.02
Surface tension	= 49.8 ± 3.0 dyne/cm
Density	= 1.290 ± 0.06 g/cm ³
Dielectric Constant	= Not available
Polarizability	= 17.65 ± 0.5 10 ⁻²⁴ cm ³

Figura 4. Representación gráfica en 2D del ácido acetil salicílico diseñado en CHEMSK® en el cual se observan los parámetros fisicoquímicos tales como peso molecular, densidad, tensión superficial, etc...

I.3. Química Medicinal

I.3.1. Definición

La Química Medicinal es la ciencia encargada del descubrimiento, desarrollo, identificación e interpretación del modo de acción de compuestos biológicamente activos a nivel molecular. Se encuentra ampliamente relacionada con el estudio, identificación y síntesis de productos metabólicos de fármacos y compuestos relacionados.¹ Es también denominada Química terapéutica, Química Farmacéutica, Química Médica y Fármaco Química ha sido estudiada desde el punto de vista de varios autores.

La Química Medicinal es una ciencia cuyas raíces se basan en todas las ramas de química y biología, donde su estudio principal es la explicación y comprensión de los mecanismos de acción de los principios activos, fármacos y sustancias que se relacionen.

En base a esto se entablan las relaciones entre la estructura química y actividad biológica, así como el enlace biodinámico entre la reactividad química y las propiedades fisicoquímicas de los agentes terapéuticos.¹

De todos los conceptos antes mencionados se puede concluir que la Química Medicinal es una ciencia, que se apoya en una serie de disciplinas para poder llevar a cabo su función de investigar, desarrollar y modificar agentes terapéuticos, además de generar conocimiento que ayude a todas y cada una de las disciplinas con las que se relaciona como se observa en la siguiente figura.

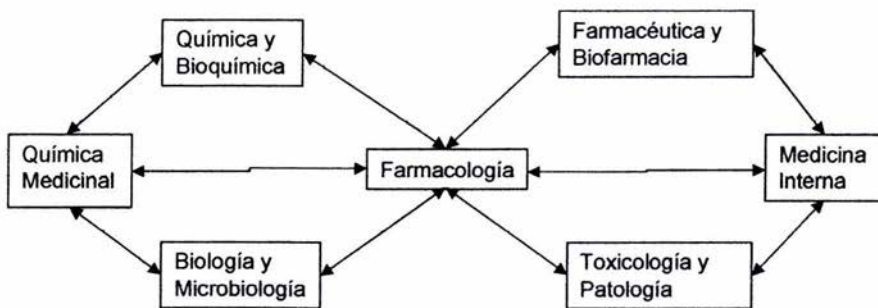


Figura 5. Cuadro representativo de la relación entre la Química Medicinal y otras disciplinas.

En la investigación de los principios activos, o agentes terapéuticos es necesario llevar a cabo el diseño de estos el cual es el estudio y búsqueda de un objetivo bien definido.¹

2. Objetivos

OBJETIVO GENERAL

Proponer la síntesis de sustancias de la serie de los isoxazoles que actúen como promotores y/o retardadores de la absorción a partir de realizar el correspondiente estudio computacional y análisis de sus propiedades cuánticas mediante el empleo de software especializado.

OBJETIVO ESPECÍFICO.

Realizar el Modelaje Molecular computacional de cada uno de los principios activos y de los promotores y/o retardadores de la absorción (Azona® y Dermac®), así como optimizar cada uno de estos componentes y determinar sus características moleculares. Proponer la síntesis y predecir las propiedades de los promotores y/o retardadores de la absorción mediante el empleo de técnicas computacionales, que permitan desarrollar en un ambiente virtual de tres dimensiones cada una de las moléculas involucradas con diferentes principios activos (isoxazoles) y mediante el análisis estadístico pertinente llevar a cabo una comparación de estos, para poder decir de manera teórica el comportamiento de cada uno de los componentes y su interacción con los principios activos.

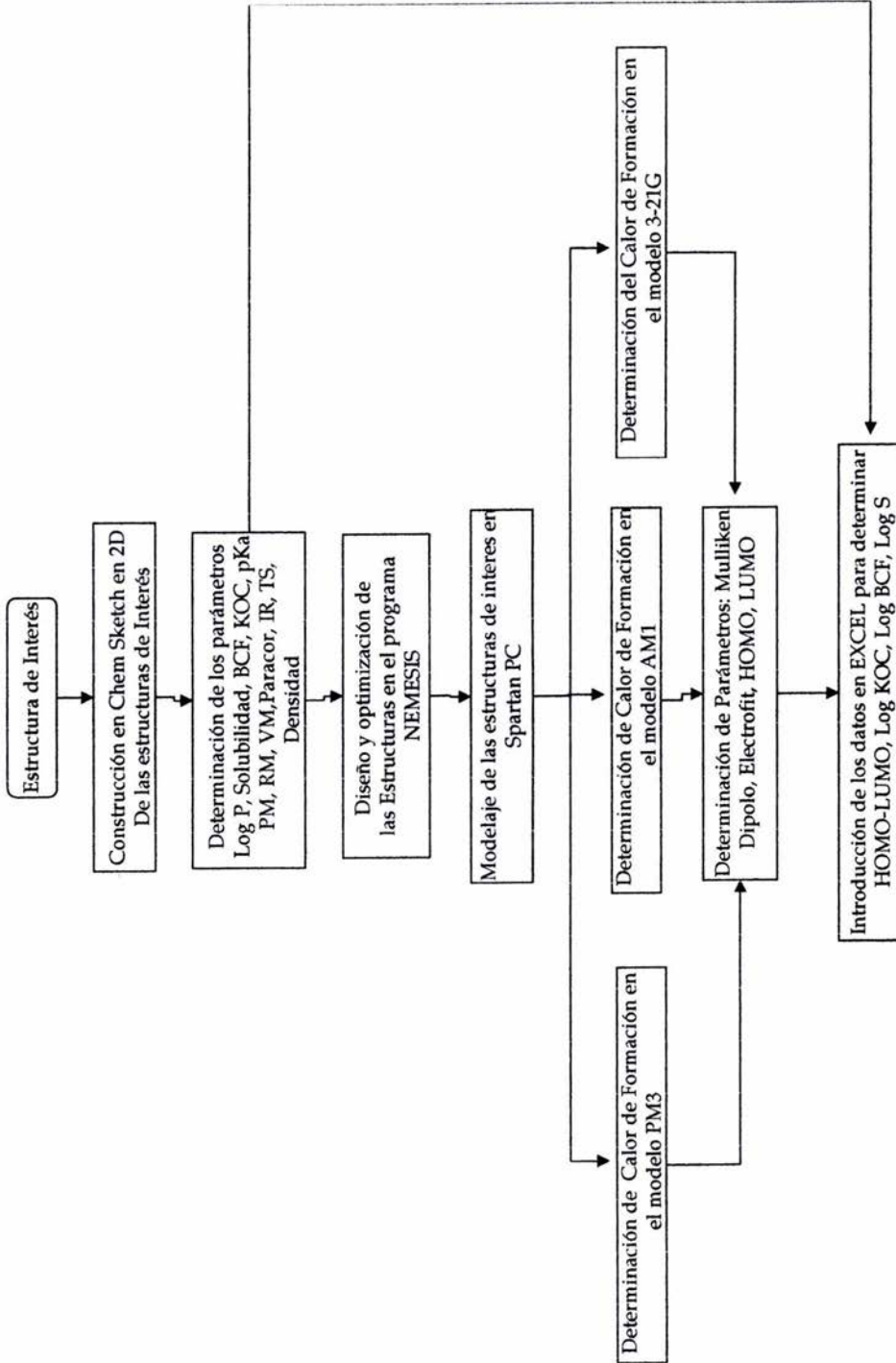
OBJETIVO ACADÉMICO

Comparar las propiedades de moduladores (Azona ® y Dermac ®) de penetración transdérmica, con isoxazoles como posibles estructuras con actividad biológica semejante. Para tal efecto se emplearán los conocimientos adquiridos en las materias de Química Orgánica I, II y III, Tecnología Farmacéutica y se utilizará como herramienta el software de modelaje molecular avanzado.

3. Material y Equipo

- Computadora Personal (PC)
- Disco duro 50 GB
- 128 Megas en RAM.
- Monitor UVGA 14``
- Intel Pentium II® 133 Mhz
- Computadora Silicon Graphics® INDIGO 2 ®
- Tarjeta de video Gallileo.
- Software PIMMS® para Silicon Graphics®.
- Software SPARTAN® para Silicon Graphics®.
- Software SPARTAN PC® para PC.
- Software NEMESIS® para PC.
- Software HYPERCHEM® para PC.
- Software ACDLABS® para PC.

Diagrama de Flujo de la Metodología



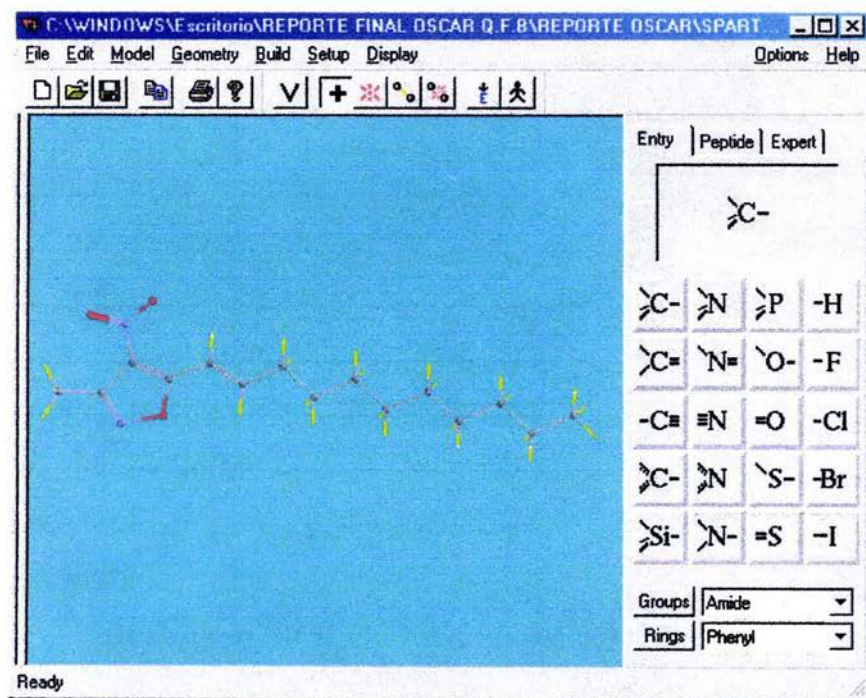
4. Metodología

4.1 Determinación del Calor de formación *Heat Formation* en el programa SPARTAN PC en modelo PM3.

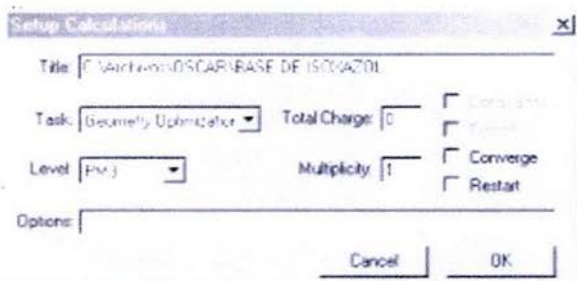
A. Abrir el programa Spartan PC en la pantalla inicial se busca el menú de "File" seleccionándose la opción "New".



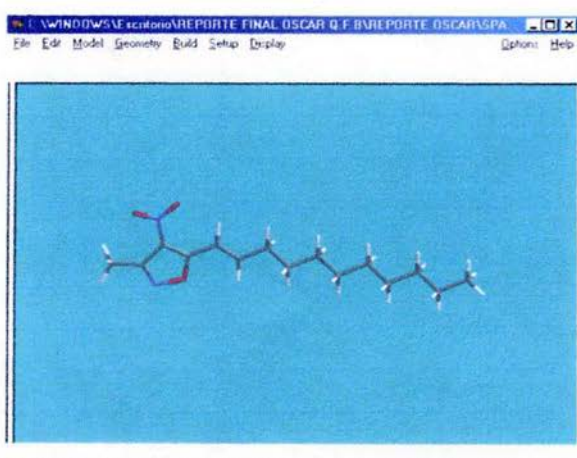
B. Con el menú resultante para la opción de construcción de una nueva molécula formar la(s) estructura(s) de interés.



- C. Se selecciona del botón de "File" la opción "Save as..." y se le da un nombre p.ej. IONOAM1.
- D. Seleccionar del Menú "Setup" la opción "Calculations..." y seleccionar del submenu "Task Geometry Optimization" y "Level PM3".

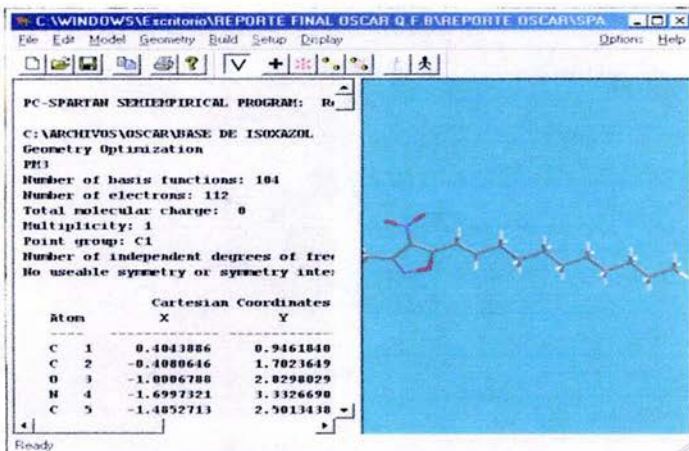


- E. Seleccionar el botón "OK" (la pantalla desaparecerá).
- F. Seleccionar de la barra de menú la opción "Setup" y elegir el comando "Submit". La computadora mandará el mensaje de "IONOPM3 has started".
- G. Después de un tiempo variable (dependiendo de la longitud y complejidad de la molécula) aparecerá el mensaje "IONOPM3 has completed".
- H. Presionar el botón "OK" y la molécula ahora se verá de la siguiente manera.



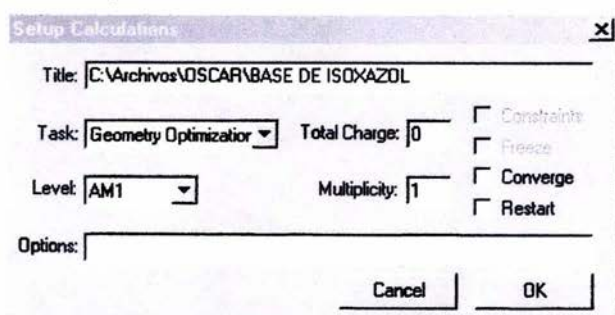
- I. Si se desea ver los parámetros obtenidos como el calor de formación "Heat of Formation", "Mulliken" y "electro fit" es necesario elegir la opción de la barra

de menú "Display" y seleccionar el comando "Output", como se muestra a continuación.



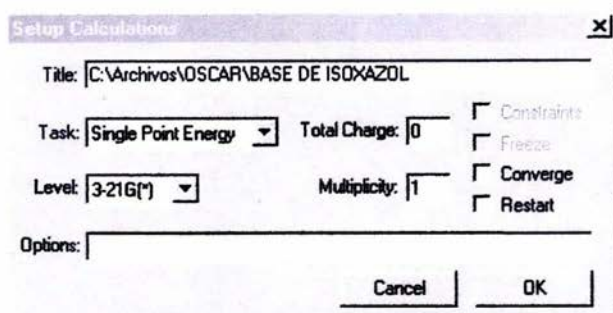
4.2 Determinación del Calor de formación "Heat Formation" en el programa SPARTAN PC en modelo AM1.

Para realizar los cálculos deseados se lleva a cabo de igual manera los puntos A, B, C, E, F, G, H, I. Tener en cuenta que en el paso D se debe seleccionar del Menú "Setup" la opción "Calculations..." y seleccionar del submenú "Task Geometry Optimization" y "Level AM1" como se muestra a continuación.



4.3 Determinación de "Single Point Energy 3-21G(*)" en el programa SPARTAN PC.

Para realizar los cálculos deseados se lleva a cabo de igual manera los puntos A, B, C, E, F, G, H, I. Tener en cuenta que en el paso D se debe seleccionar del Menú "Setup" la opción "Calculations..." y seleccionar del submenu "Task Single Point Energy" y "Level 3-21g(*)".



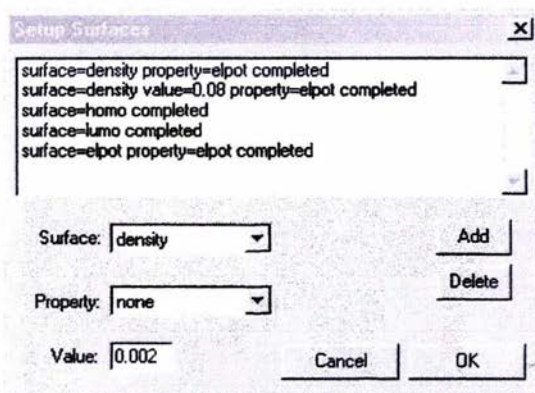
4.4 Determinación de los parámetros "Energy", "Charge", "Dipole" en SPARTAN PC.

Una vez obtenidos los parámetros en AM1 o PM3 y que el trabajo enviado "Submit" ha concluido, se elige de la barra de menú la opción de "Display", se ejecuta de manera siguiente el comando "Properties" y se seleccionan las opciones adecuadas.

4.5 Dibujo de la Gráfica de los parámetros "HOMO", "LUMO", "elpot."

Se puede realizar el Dibujo gráfico de estos parámetros por medio de cualquier trabajo realizado en "AM1", "PM3", "SINGLE POINT 3-21g(*)" o sin realizar ninguno de los anteriores solo es necesario hacer lo siguiente:

A. En la barra de menú se elige “*Setup*” y de los comandos hay que seleccionar la opción “*Surfaces*” para obtener un cuadro de diálogo y de opción, donde se ha de tomar “*HOMO*” y posteriormente oprimir el Botón de comando “*Add*”, esto ha de hacerse para cada una de las opciones requeridas como “*LUMO*”, “*elpot*”, “*density*” como se muestra a continuación.



B. Una vez realizada la adición de los parámetros gráficos requeridos se da la opción de “*Setup*” en la barra de menú y se elije el comando “*Submit*” para obtener el mensaje “*IONOAM1 has started.*”

C. Cuando se recibe el mensaje “*IONOAM1 has complete*” para visualizar cada una de las superficies mandadas se selecciona de la barra de menú la opción “*Display*” a continuación “*Surfaces...*” y se selecciona coloreando la opción de la superficie que se desea observar como se muestra a continuación en las figuras 3, 4 y 5.

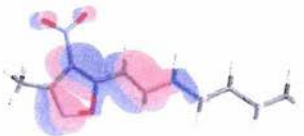


Figura 3. Representación gráfica de *HOMO* realizado en el programa SPARTAN PC.



Figura 4. Representación gráfica de *LUMO* realizado en el programa SPARTAN PC.

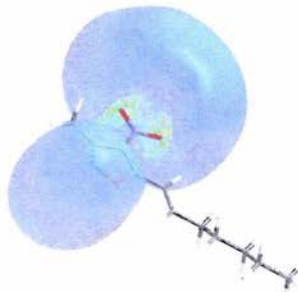
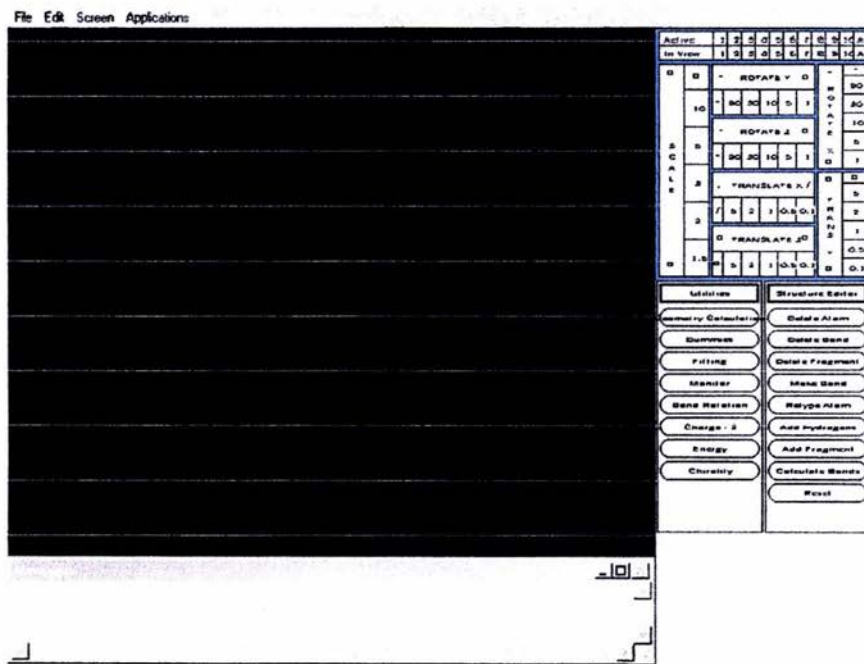


Figura 5. Representación gráfica de *elpot* realizado en el programa SPARTAN PC.

4.6 Determinación del parámetro de Energía total y Carga total de las moléculas a partir del programa NEMESIS para PC.

A. En la pantalla principal se dibuja la estructura con el empleo de la opción de "Applications" localizada en la barra de menú y seleccionando el comando "Structure..." que dará por resultado el despliegue de la siguiente pantalla.



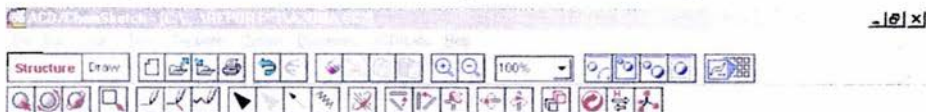
Donde se muestra en el extremo inferior derecho el menú de trabajo "Structure Editor" para así poder desarrollar la molécula deseada.



- B. Una vez terminado el diseño de la molécula, se calcula la carga de esta al presionar el comando “*Charge - 2*” que está localizada en el menú de utilidades.
- C. Para poder calcular la Energía total es necesario primero calcular la carga con la opción “*Charge - 2*” y después presionar el comando “*Energy*”, que dará el resultado en kcal/mol, dichos resultados se podrán visualizar en la parte inferior de la pantalla en la ventana titulada “*Messages*”.

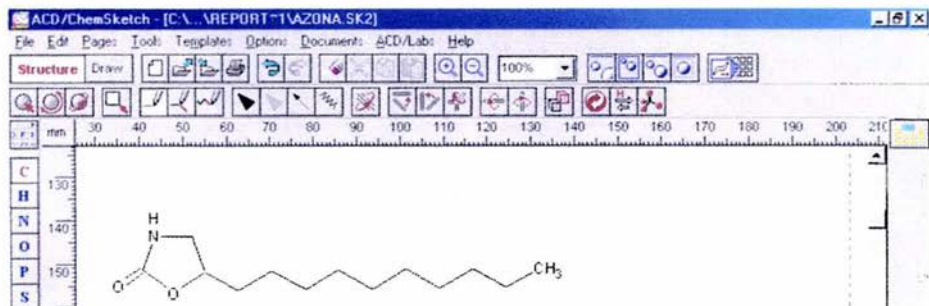
4.7 Determinación de propiedades fisicoquímicas así como el dibujo de estructuras en 2D en el programa ACDLABS.

- A. En la siguiente barra de herramientas y menú se hace lo siguiente:

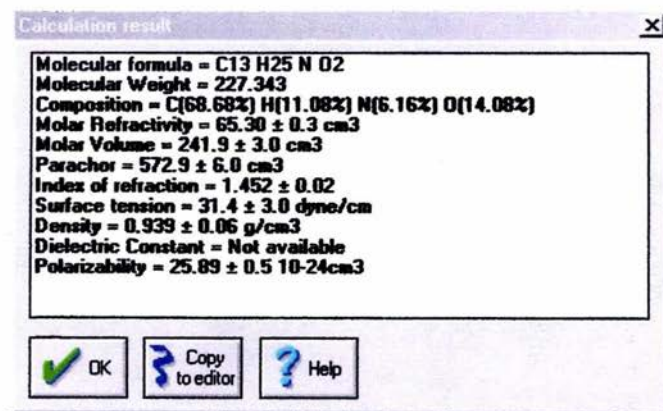


se oprime el botón de la herramienta “*Structure*” con lo cual el cursor cambiará de forma a un diseño de enlace carbono – carbono (C-C) y con eso indica que puede empezarse el dibujo en 2D de la estructura; con las opciones de “*Draw*”

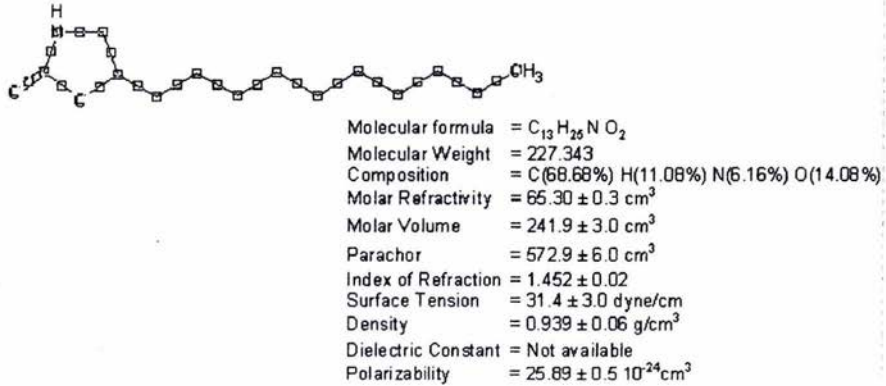
se puede añadir un texto y con las herramientas se pueden seleccionar estructuras prediseñadas solo para pegar y trabajar sobre de ellas. A continuación se muestra como se observa la figura terminada en este caso la Azona.



B. Para determinar las propiedades fisicoquímicas primero se debe de dibujar y elegir la estructura con el botón de selección en la barra de herramientas que se encuentra localizado en la parte superior izquierda de la pantalla de trabajo. Una vez seleccionada se elige el botón de menú "Tools" apretar el comando "Calculate..." seleccionar la opción de "All properties" para obtener la pantalla siguiente.

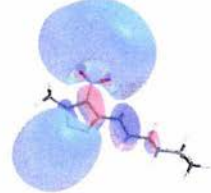


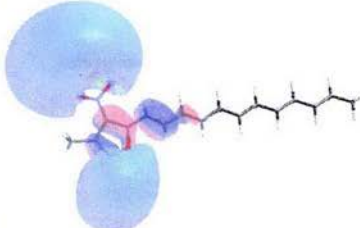
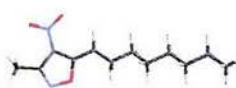
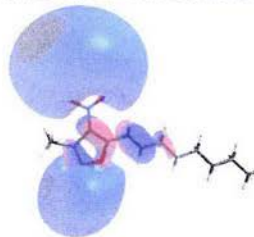
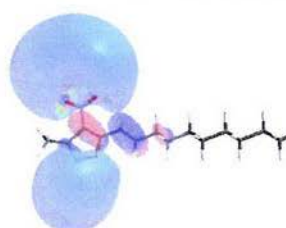
Con lo que se tiene la posibilidad de colocar en la pantalla donde se encuentra la estructura las propiedades obtenidas al presionar el botón "Copy to editor" y "OK". Que da como resultado la pantalla final.

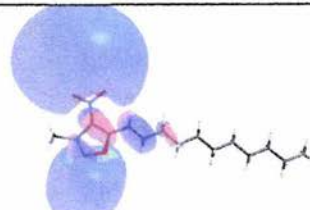
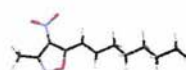
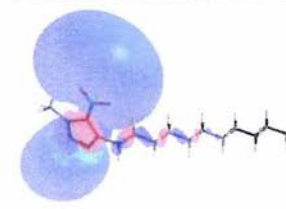
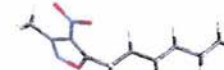


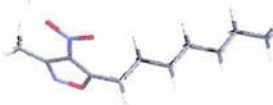
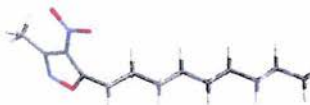
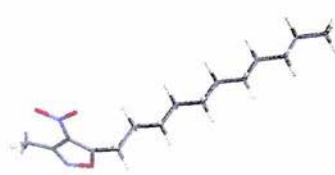
5. Resultados y Discusión.

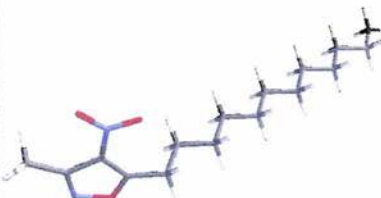
Se realizó el modelaje en 3D y la obtención de los descriptores de las siguientes estructuras:

Promotores y/o retardadores	
Azona	
Dermac	
Isoxazoles con doble enlace en cadena larga	
IBU1	

IDE	
IHE	
IHEP	
IOC	

IONO	
IPEN	
Isoxazoles sin doble enlace en cadena larga	
IDE	
IHE	

IHEP	
IOC	
INO	
IONCE	

IDODE	
-------	---

A partir de los cálculos efectuados en los programas especializados se obtuvieron los descriptores de cada uno de los promotores (Azona y Dermac) con los diferentes isoxazoles diseñados que se muestran en el Anexo 1.

Cada uno de los datos obtenidos fueron introducidos al programa estadístico (STAT) para obtener las matrices de correlación entre cada uno de los descriptores de los promotores y/o retardadores con los diferentes isoxazoles como se muestran en el Anexo 2. Los valores numéricos de las correlaciones que nos interesaron para continuar el análisis estadístico fueron aquellos cuyo valor fue mayor a 0.9500, ya que aquellas variables que muestran mayor similitud entre si tienen un valor superior al antes mencionado. Una vez identificados los valores de interés se seleccionaron los descriptores que tuvieran el mayor número de correlaciones con el fin de obtener diferentes ecuaciones de regresión lineal (tabla 1) y poder elegir así las que tuvieran los mejores valores de R^2 (tabla 1).

Ecuaciones de Hantshc

Azona con isoxazol con 2º enlace 1

Ecuaciones

$$1^{\circ} \text{Koc} = \underline{\text{BCF}} (0.814) + 8764.318$$

$$2^{\circ} \underline{\text{BCF}} = \text{HOSP321G} (305644) + \text{HOPM3} (-21220) + 319781$$

$$3^{\circ} \text{DIPM3} = \text{MUPM3} (0.6429) + \text{MUSP321G} (0.046) + 0.9921$$

Dermac con isoxazol con 2º enlace 2

Ecuaciones

$$1^{\circ} \underline{\text{CFAM1}} = \text{LOG_Koc} (-5.2763) + \text{HOAM1} (32.3184) + \text{HOSP321G} (2.3342) + \text{CFPM3} (0.9704) + 383.8899$$

$$2^{\circ} \text{ELAM1} = \underline{\text{CFAM1}} (-0.0008) + \text{DIPAM1} (0.9387) + 0.3105$$

$$3^{\circ} \text{LUPM3} = \text{HOPM3} (0.0389) + \text{HO_LUAM1} (-0.7905) + (-7.9472)$$

Azona con isoxazol sin 2º enlace 3

Ecuaciones

$$1^{\circ} \underline{\text{ELPM3}} = \text{MUSP321G} (0.0760) + \underline{\text{S}} (-0.0055) + \underline{\text{BCF}} (4.84E-7) + 2.5063$$

$$2^{\circ} \text{MUPM3} = \text{DISP321G} (-0.0482) + 3.0800$$

$$3^{\circ} \underline{\text{BCF}} = \text{Koc} (0.4425) + \underline{\text{S}} (5052.4835) + \underline{\text{ELPM3}} (823855.355) + (-2243403.96)$$

Dermac con isoxazol sin 2º enlace 4

Ecuaciones

$$1^{\circ} \underline{\text{HO_LUPM3}} = \underline{\text{LUPM3}} (-0.6949) + (-10.6281)$$

$$2^{\circ} \underline{\text{LUPM3}} = \underline{\text{HO_LUPM3}} (-1.4391) + (-15.2947)$$

$$3^{\circ} \text{PKA} = \text{PM} (-0.0002) + \text{BCF} (3.65E-7) + \text{HOSP321G} (-5.7899) + \text{S} (-0.0102) + \underline{\text{HO_LUPM3}} (-10.0343) + (-165.6643)$$

Azona con isoxazol con 2º enlace 1

	Valor R	Valor R ²	Valor R ² ajustada	Valor P <	Valor S	Valor F
1	0.9980	0.9959	0.9952	< 0.000000	10115.0000	1460.7000
2	1.0000	0.9999	0.9999	< 0.000000	2070.4000	26274.0000
3	0.9998	0.9996	0.9994	< 0.000000	0.0076	5599.8000

Dermac con isoxazol con 2º enlace 2

	Valor R	Valor R ²	Valor R ² ajustada	Valor P <	Valor S	Valor F
1	1.0000	1.0000	1.0000	< 0.000000	0.2248	98384.0000
2	1.0000	1.0000	1.0000	< 0.000000	0.0044	77830.0000
3	1.0000	1.0000	0.9999	< 0.000000	0.0068	67413.0000

Azona con isoxazol sin 2º enlace 3

	Valor R	Valor R ²	Valor R ² ajustada	Valor P <	Valor S	Valor F
1	0.9994	0.9988	0.9980	< 0.000000	0.0064	1146.8000
2	0.9951	0.9903	0.9887	< 0.000000	0.0041	613.3900
3	0.9996	0.9992	0.9986	< 0.000000	6557.5000	1706.5000

Dermac con isoxazol sin 2º enlace 4

	Valor R	Valor R ²	Valor R ² ajustada	Valor P <	Valor S	Valor F
1	1.0000	1.0000	1.0000	< 0.000000	0.0005	8443000.0000
2	1.0000	1.0000	1.0000	< 0.000000	0.0008	8443000.0000
3	1.0000	1.0000	1.0000	< 0.000000	0.0024	7808000.0000

Tabla 1. Ecuaciones de Regresión lineal de cada uno de los descriptores y parámetros estadísticos de cada ecuación.

En las ecuaciones resultantes que se tienen en la parte superior de la tabla 1 se observan los descriptores resultantes de la relación entre la Azona-isoxazoles mostrándose de igual manera para el Dermac. Es necesario hacer notar que cada uno de los elementos marcados (cursivos y subrayados) en los 4 diferentes grupos de ecuaciones son los

descriptores que tienen mayor similitud entre el promotor y/o retardador y los isoxazoles lo cual hace que cada grupo de ecuaciones indiquen los elementos que se pueden considerar para nuevas estructuras químicas ya que al tener mayor similitud entre cada uno de los descriptores obtenidos será mas factible el que ambas entidades químicas se relacionen entre si en una nueva formulación posible. Como se observa en la tabla 1 las ecuaciones resultantes de la *Azona con isoxazol con 2º enlace 1* así como en *Dermac con isoxazol con 2º enlace 2* hay solamente un descriptor en común entre cada grupo de ecuaciones (negritas y subrayados). Como se puede observar, los modelos considerados en las ecuaciones antes presentadas son estadísticamente satisfactorias, en base a el coeficiente de correlación (*r*) y la *F*- estadística (*f*). Es importante mencionar que algunos descriptores obtenidos en las ecuaciones llegan a estar como variable dependiente e independiente lo que se debe a que estos parámetros indican similitud entre las propiedades de las entidades químicas y su presencia en dichas ecuaciones como variables independientes hacen aumentar los valores de *R* y *R²*. Los valores obtenidos para *P* son estadísticamente cero que se debe a que el análisis estadístico que se realizó no dependía del azar.

Para realizar la correlación Estructura química-Actividad biológica, es necesario en primer lugar generar las estructuras químicas, determinar la estructura más estable y obtener los descriptores para cada principio activo (isoxazoles) así como de los promotores y/o retardadores para posteriormente relacionarlos con la actividad biológica, que en el caso de AZONA ® y DERMAC ® es de promotor y/o retardador.

En cuanto a la AZONA ® tenemos que el modelo que mejor describe su capacidad promotora, relacionando el promotor con isoxazoles de 2^a enlace involucra el descriptor BCF (Factor de Bioconcentración). Mientras que la

relación entre la AZONA ® y los isoxazoles sin 2^a enlace involucra a los descriptores ELPM3 (Potencial electrostático en modelo PM3) y BCF.

6. Conclusiones.

- A. El análisis computacional desarrollado en los programas especializados en modelaje molecular, mostró la utilidad para obtener datos confiables a partir de un diseño molecular en un espacio virtual de 3D, lo que ayuda al investigador a predecir su comportamiento de la molécula aún antes de ser elaborada en el laboratorio.
- B. La obtención de las ecuaciones de parámetros fisicoquímicos, matrices de correlación y los descriptores fisicoquímicos característicos de cada molécula, hicieron posible una comparación estadística para buscar y encontrar aquellas estructuras que pudieran interactuar en la dualidad promotor y/o retardador - principio activo (isoxazoles).
- C. En cada una de las ecuaciones obtenidas por los programas especializados en modelaje molecular, se indicaron los descriptores con mayor similitud de cada una de las moléculas, las que pueden considerarse para nuevas estructuras químicas, ya que será mas factible el que ambas entidades químicas se relacionen entre si en una posible nueva formulación posible.

A N E X O 1

TABLAS DE RESULTADOS DE LOS DESCRIPTORES

AZONA E ISOXAZOLES CON DOBLE ENLACE

COMPUESTO	CALOR DE FORMACION AM1 kcal/mol	Mulliken AM1	Electrofilit AM1	LUMO AM1	HOMO AM1	HOMO-LUMO AM1	CALOR DE FORMACION PM3 kcal/mol	Mulliken PM3	Electrofilit PM3	debajes PM3	
AZONA	-125,744	3,1806	3,6152	3,5695	1,57223	-9,4419	-11,0141	-114,462	2,8898	3,116	3,0693
IBU1	25,675	4,3932	3,7736	3,7107	-1,51646	-10,0263	-8,5098	7,285	4,2254	4,0768	3,8995
IDE	-15,396	4,4587	3,8573	3,7648	-1,51704	-10,0270	-8,5099	-25,219	4,2836	4,213	3,98
IHE	11,987	4,4348	3,8099	3,7449	-1,51657	-10,0247	-8,5081	-3,544	4,2692	4,126	3,947
IHEP	5,141	4,4448	3,8348	3,7543	-1,51638	-10,0233	-8,5070	-8,61	4,289	4,1488	3,9387
IOC	-1,705	4,452	3,8364	3,7593	-1,51629	-10,0248	-8,5085	-14,38	4,2785	4,1729	3,942
IONO	-8,549	4,4531	3,8485	3,7591	-1,51666	-10,0266	-8,5100	-19,73	4,2668	4,1682	3,9263
IPEN	11,988	4,4408	3,8241	3,7496	-1,62218	-10,2350	-8,6128	1,871	4,2661	4,059	3,9215
LUMO PM3	HOMO PM3	HOMO-LUMO ENERGIA SP 3-21G kcal/mol	Mulliken SP3G	Electrofilit SP3G	LUMO SP3G	HOMO SP3G	HOMO-LUMO SP3G	LOG P	Solubilidad (\$ mol/L x 10^-3	LOG S	
1,0289	-9,4556	-10,4845	-10,791075	4,7609	3,9426	3,9455	1,5722	-9,4419	-11,0141	7,82	0,000023
-1,6207	-10,2395	-8,6188	-54,08,3789	4,2887	3,4452	3,4359	-1,6513	-11,1715	-9,5202	2,87	2,3
-1,6510	-11,1605	-9,5095	-5967,2860	4,392	3,5546	3,5479	-1,6510	-11,1605	-9,5095	6,06	0,00031
-1,6225	-10,2354	-8,6129	-5404,6854	4,3516	3,5036	3,5022	-1,6510	-11,1633	-9,5143	3,93	0,12
-1,6225	-10,2359	-8,6133	-5404,9335	4,3283	3,5279	3,5164	-1,6510	-11,1638	-9,5129	4,46	0,027
-1,6244	-10,2372	-8,6128	-5404,5821	4,1853	3,35	3,3284	-1,6345	-11,1555	-9,5211	4,99	0,0061
-1,6216	-10,2448	-8,6232	-5411,1284	4,1307	3,3491	3,3354	-1,6344	-11,1545	-9,5201	5,53	0,0014
-1,5156	-10,0216	-8,5060	-5337,5687	4,08	3,29	3,2916	-1,6343	-11,1612	-9,5266	3,4	0,153
Factor de LOG (BCF) (\sim Bioconcentració n (BCF))	1,0	Coefficiente de Adsorción (Koc)	LOG (Koc) (Koc)	pKa (\sim 0.5)	Peso molecular (mol)	Refractividad cm3	Volumen Nolar (~ 0.3) cm3	Parachor (~ 4.0) cm3	Indice de Refracción (~ 0.2)	Tensión Superficial (~ 3.0) din/cm	Densidad (+ 0.06) g/cm3
512461	5,7	425154	5,6	-0,43	281,477	87,02	314,3	753	1,465	32,9	0,895
89,2	2	866	2,9	-4,67	210,23	57,8	184	470,8	1,54	42,8	1,142
23612	4,4	46976	4,7	-4,71	294,399	95,59	283,1	709,5	1,516	39,4	1,039
573	2,8	3278	3,5	-4,62	238,283	67,06	217	550,4	1,53	41,3	1,097
1451	3,2	6378	3,8	-4,64	252,31	71,7	233,5	580,1	1,526	40,7	1,08
3677	3,6	12410	4,1	-4,65	266,366	76,33	250	629,9	1,522	40,2	1,064
9318	4	24145	4,4	-4,65	280,363	80,96	266,5	669,7	1,519	39,8	1,051
226	2,4	16,85	3,2	-4,71	224,256	62,43	200,5	510,6	1,534	42	1,118

DERMAC E ISOXAZOLES CON DOBLE ENLACE

COMPUESTO	CALOR DE FORMACION AM1 kcal/mol	Mulliken AM1	Electrofit AM1	LUMO AM1	HOMO AM1	HOMO-LUMO AM1	CALOR DE FORMACION PM3 kcal/mol	Mulliken PM3	Electrofit PM3	debajes PM3	LUMO PM3
DERMAC	-142,103	5,1125	5,6624	5,5767	1,2694	-10,6177	-11,8871	-139,304	4,4529	5,2897	5,0272
IBU1	25,675	4,3932	3,7736	3,7107	-1,5165	-10,0263	-8,5098	7,285	4,2254	4,0768	3,8985
IDE	-15,396	4,4587	3,8573	3,7648	-1,5170	-10,0270	-8,5099	-29,219	4,2836	4,213	3,95
IHE	11,987	4,4348	3,8099	3,7449	-1,5166	-10,0247	-8,5081	-3,544	4,2692	4,126	3,947
IHEP	5,141	4,4448	3,8348	3,7543	-1,5164	-10,0233	-8,5070	-8,61	4,289	4,1488	3,9387
IOC	-1,705	4,4552	3,8364	3,7593	-1,5163	-10,0248	-8,5085	-14,38	4,2785	4,1729	3,942
IONO	-8,549	4,4531	3,8485	3,7591	-1,5167	-10,0266	-8,5100	-19,793	4,2688	4,1662	3,9263
IPEN	11,988	4,4408	3,8241	3,7496	-1,6222	-10,2350	-8,6128	1,871	4,2661	4,059	3,9215
HOMO PM3	HOMO-LUMO PM3	ENERGIA SP 3-2/G	Mulliken SP3G	Electrofit SP3G	LUMO SP3G	HOMO SP3G	HOMO-LUMO SP3G	LOG P	Solubilidad (S) mol/l x 10-3	Factor de Bioconcentración (BCF)	LOG S
-10,3083	-11,35665	-419345,988	7,7371	5,6968	5,6796	-1,4734	-11,1522	-9,6788	4,95	0,007	3382
-10,2395	-8,6188	-449319,016	4,2887	3,4452	3,4359	-1,6513	-11,1715	-9,5202	2,87	2,3	89,2
-11,1605	-9,5095	-595467,359	4,392	3,5546	3,5479	-1,6510	-11,1605	-9,5085	6,06	0,00031	23612
-10,2354	-8,6129	-498035,088	4,3516	3,5036	3,5022	-1,6510	-11,1653	-9,5143	3,93	0,12	573
-10,2359	-8,6133	-522393,062	4,3283	3,5279	3,5164	-1,6510	-11,1638	-9,5129	4,46	0,027	1451
-10,2372	-8,6128	-546765,845	4,1853	3,35	3,3284	-1,6345	-11,1555	-9,5211	4,99	0,00027	3677
-10,2448	-8,6232	-571124,508	4,1307	3,3491	3,3354	-1,6344	-11,1545	-9,5201	5,53	0,0014	9318
-10,0216	-8,5060	-473689,728	4,09	3,29	3,2916	-1,6345	-11,1612	-9,5286	3,4	0,53	226
LOG (BCF) (γ)	Coefficiente de Adsorción (Koc) (γ)	LOG (Koc) (γ)	pKa (γ -0.5)	Peso molecular (nmol)	Refractividad ad molar (γ + 0.3) cm3	Volumen Molar (γ + 3.0) cm3	Parachor (γ -0.1) cm3	Indice de Refracción (γ -0.2)	Tensión Superficial (+ 3.0) dina/cm3	Densidad (+ 0.06) g/cm3	Polarizabilidad ad cm3
3,5	11688	4,1	12,81	227,343	65,3	241,9	572,9	1,452	31,4	0,939	25,89
2	866	2,9	-4,67	210,23	57,8	184	470,8	1,54	42,8	1,142	22,91
4,4	46976	4,7	-4,71	294,389	85,59	283,1	709,5	1,516	39,4	1,039	33,93
2,8	32778	3,5	-4,62	238,283	67,06	217	550,4	1,53	41,3	1,097	26,58
3,2	63778	3,8	-4,64	252,31	71,7	233,5	590,1	1,526	40,7	1,08	28,42
3,6	12410	4,1	-4,65	266,366	76,33	250	629,9	1,522	40,2	1,064	30,26
4	24145	4,4	-4,65	280,363	80,96	266,5	689,7	1,519	39,8	1,051	32,09
2,4	16,85	3,2	-4,71	224,256	62,43	200,5	510,6	1,534	42	1,118	24,75

AZONA E ISOXAZOLES SIN DOBLE ENLACE

COMPUESTO	CALOR DE FORMACION AM1 kcal/mol	Mulliken AM1	Electrofitti AM1	LUMO AM1	HOMO AM1	HOMO-LUMO AM1	CALOR DE FORMACION PM3 kcal/mol	Mulliken PM3	Electrofitti PM3	debajes PM3	LUMO PM3
AZONA	-125,744	3,1806	3,6152	3,5895	1,5722	-9,4419	-11,0141	-114,462	2,8898	3,1116	3,0693
IDE	-28,18	2,9266	2,2889	2,2207	1,2042	-10,8856	-9,6814	-39,364	2,9955	2,7313	2,5492
IHE	-0,798	2,9316	2,2737	2,2196	-1,2033	-10,8921	-9,6888	-17,694	3,0022	2,6912	2,5506
IHEP	-7,642	2,9297	2,2841	2,2234	-1,2037	-10,8900	-9,6863	-23,108	2,9998	2,703	2,5518
LOC	-14,801	3,3649	2,6152	2,5361	-1,2072	-10,8845	-9,6773	-28,525	3,0043	2,7204	2,5543
INO	-21,333	2,9242	2,2836	2,2219	-1,2041	-10,8867	-9,6826	-33,944	2,995	2,719	2,5493
IONCE	-35,027	2,9248	2,3008	2,2235	-1,2045	-10,8845	-9,6801	-44,784	2,9928	2,7246	2,5489
IDODE	-41,874	2,9247	2,2923	2,2203	-1,2046	-10,8836	-9,6790	-50,205	2,9847	2,748	2,5489
HOMO PM3	HOMO-LUMO PM3	ENERGIA SP 3-21G	Mulliken SP3G	Electrofitti SP3G	LUMO SP3G	HOMO SP3G	HOMO-LUMO SP3G	LOG P	Solubilidad (S) mol/L x 10 -4	Factor de Bioconcentración (BCF)	LOG S
-9,4556	-10,4845	-6,579,1075	4,7609	3,9426	3,9455	1,5722	-9,4419	-11,0141	7,82	0,0000023	5,12461
-11,0155	-9,7462	-6,115,8442	2,7851	1,7162	1,7074	-1,6394	-11,1529	-9,5135	5,51	0,014	9,107
-11,0138	-9,7467	-6,116,1668	2,8073	1,6993	1,6875	-1,6397	-11,1584	-9,5188	3,39	5,5	221
-11,0146	-9,7467	-6,116,1270	2,769	1,687	1,68	-1,6396	-11,1568	-9,5172	3,92	1,2	560
-11,0155	-9,7466	-6,116,0675	2,8182	1,7311	1,7149	-1,6392	-11,1550	-9,5158	4,45	0,28	1418
-11,0154	-9,7465	-6,116,0014	2,7918	1,727	1,7123	-1,6394	-11,1540	-9,5146	4,98	0,064	3594
-11,0159	-9,7464	-6,115,9278	2,7851	1,7162	1,7074	-1,6394	-11,1529	-9,5135	6,04	0,0033	23078
-11,0161	-9,7463	-6,115,9214	2,7922	1,7318	1,7316	-1,6394	-11,1523	-9,5129	6,58	0,00074	58483
LOG (BCF) (+ 1,0)	Coefficiente de Adsorcion (Koc) (+ 1,0)	Peso molecular (mol)	Refactivid molecular (mol)	Volumen Molar (+- 0.3) cm3	Parachor (+- 0.3) cm3	Indice de Retraccion (+- 0.2)	Tension Superficial (+- 3.0) din/m	Densidad (- 0.06) g/cm3 ad cm3	Polarizabilidad (- 0.06) g/cm3 ad cm3		
5,7	425154	5,6	-0,43	281,477	87,02	314,3	753	1,465	32,9	0,895	34,49
4	23753	4,4	-3,35	268,352	74,62	258,4	643,4	1,489	38,4	1,038	29,58
2,3	1658	3,2	-3,36	212,246	56,09	192,4	484,2	1,494	40,1	1,103	22,23
3,5	3225	3,5	-3,33	226,272	60,72	208,9	524	1,493	39,5	1,083	24,07
3,02	6275	3,8	-3,34	270,299	65,36	225,4	563,8	1,491	39,1	1,085	25,91
3,6	12208	4,1	-3,34	254,325	69,99	241,9	603,6	1,49	38,7	1,051	27,74
4,4	46213	4,7	-3,35	282,379	79,25	274,9	683,1	1,488	38,1	1,027	31,42
4,8	89913	5	-3,34	296,405	83,89	291,4	722,9	1,487	37,8	1,016	33,25

DERMAC E ISOXAZOLES SIN DOBLE ENLACE

A N E X O 2

TABLAS DE CORRELACIONES

Correlations (azona2a.sta)

	CFAM1	MUAM1	ELAM1	DIPAM1	LUAM1	HOAM1	HO_LUAM1	CFPM3	MUPM3	ELPM3	DIPM3	LUPM3	HOPM3	HO_LUPM3
CFAM1	1													
MUAM1	-0,3112	1												
ELAM1	-0,8969	0,6155	1											
DIPAM1	-0,8972	0,6022	0,9997	1										
LUAM1	-0,9377	0,4023	0,9690	0,9732	1									
HOAM1	-0,9394	0,4049	0,9697	0,9738	1,0000									
HO_LUAM1	0,9357	-0,3995	-0,9681	-0,9724	-1,0000	-0,9999	1							
CFPM3	1,0000	-0,3058	-0,8929	-0,8931	-0,9345	-0,9363	0,9325	0,9594	0,9942	0,9948	0,9948	0,9948	0,9948	1
MUPM3	0,9817	-0,3363	-0,9479	-0,9522	-0,9945	-0,9948	0,9942	0,9942	0,9942	0,9942	0,9942	0,9942	0,9942	1
ELPM3	0,9703	0,4008	0,9641	0,9667	0,9926	0,9932	0,9918	0,9681	0,9948	0,9948	0,9948	0,9948	0,9948	1
DIPM3	-0,9355	0,4113	0,9712	0,9753	0,9999	0,9999	-0,9999	-0,9932	-0,9935	-0,9921	-0,9921	-0,9921	-0,9921	1
LUPM3	-0,9374	0,4033	0,9692	0,9734	1,0000	1,0000	-1,0000	-0,9342	-0,9944	-0,9944	-0,9925	-0,9925	-0,9925	1
HOPM3	-0,9373	0,4032	0,9692	0,9734	1,0000	1,0000	-1,0000	-0,9341	-0,9944	-0,9944	-0,9925	-0,9925	-0,9925	1
HO_LUPM3	0,9375	-0,4035	-0,9693	-0,9734	-1,0000	-1,0000	1,0000	0,9344	0,9944	0,9944	-0,9926	-0,9926	-0,9926	1
CFSP321G	0,9375	-0,4035	-0,9693	-0,9734	-1,0000	-1,0000	1,0000	0,9344	0,9944	0,9944	-0,9926	-0,9926	-0,9926	1
MUSP321G	-0,9359	0,4170	0,9726	0,9766	0,9998	0,9998	-0,9997	-0,9327	-0,9930	-0,9922	-0,9922	-0,9922	-0,9922	1
ELSP321G	-0,9420	0,4094	0,9709	0,9748	0,9999	0,9999	-0,9997	-0,9389	-0,9949	-0,9949	-0,9943	-0,9943	-0,9943	1
DISP321G	-0,9432	0,4073	0,9704	0,9743	0,9998	0,9998	-0,9996	-0,9401	-0,9946	-0,9946	-0,9946	-0,9946	-0,9946	1
LUSP321G	-0,9377	0,4034	0,9693	0,9734	1,0000	1,0000	-1,0000	-0,9346	-0,9945	-0,9945	-0,9926	-0,9926	-0,9926	1
HOSP321G	-0,9389	0,4031	0,9692	0,9733	1,0000	1,0000	-0,9989	-0,9357	-0,9948	-0,9948	-0,9930	-0,9930	-0,9930	1
HO_LUSP	0,9364	-0,4039	-0,9693	-0,9735	-1,0000	-1,0000	1,0000	0,9332	0,9942	0,9942	-0,9922	-0,9922	-0,9922	1
LOG_P	-0,8965	0,1316	0,6347	0,6867	0,6904	0,6904	-0,6826	-0,9005	-0,7442	-0,7442	-0,7643	-0,7643	-0,7643	1
S	0,4248	-0,2050	-0,2318	-0,2188	-0,1862	-0,1915	0,1804	0,4294	0,2412	0,2412	-0,2786	-0,2786	-0,2786	1
BCF	-0,9637	0,3739	0,9573	0,9608	0,9938	0,9942	-0,9934	-0,9614	-0,9949	-0,9949	0,9971	0,9971	0,9971	1
LOG_BCF	-0,8769	0,0401	0,6081	0,6054	0,6792	0,6824	-0,6758	-0,8808	-0,7397	-0,7397	0,7513	0,7513	0,7513	1
KOC	-0,9809	0,3412	0,9368	0,9395	0,9785	0,9793	-0,9776	-0,9794	-0,9870	-0,9870	0,9820	0,9820	0,9820	1
LOG_KOC	-0,8813	0,1173	0,6147	0,6098	0,6621	0,6660	-0,6580	-0,8855	-0,7218	-0,7218	0,7425	0,7425	0,7425	1
PKA	-0,9379	0,4049	0,9696	0,9738	1,0000	1,0000	-0,9999	-0,9348	-0,9944	-0,9944	0,9928	0,9928	0,9928	1
PM	-0,5723	0,2501	0,3237	0,3090	0,2780	0,2840	-0,2715	-0,5780	-0,3333	-0,3333	0,3871	0,3871	0,3871	1
RM	-0,8023	0,0523	0,4977	0,4914	0,5448	0,5491	-0,5401	-0,8076	-0,6126	-0,6126	0,6361	0,6361	0,6361	1
VM	-0,8492	0,0893	0,5654	0,5598	0,6128	0,6168	-0,6084	-0,8539	-0,6761	-0,6761	0,6981	0,6981	0,6981	1
PARA	-0,8081	0,0566	0,5059	0,4997	0,5530	0,5573	-0,5484	-0,8134	-0,6203	-0,6203	0,6437	0,6437	0,6437	1
IR	0,9949	-0,3575	-0,9326	-0,9045	-0,9337	-0,9685	-0,9678	-0,9649	0,9939	0,9939	0,9820	0,9820	0,9820	1
TS	0,9990	-0,3270	-0,9043	-0,9045	-0,9413	-0,9431	-0,9353	-0,9988	0,9645	0,9645	-0,9731	-0,9731	-0,9731	1
DENS	0,9921	-0,2925	-0,8523	-0,8909	-0,8933	-0,8882	-0,8931	-0,9238	-0,9365	-0,9365	-0,8883	-0,8883	-0,8883	1
POLA	-0,8020	0,0523	0,4975	0,4912	0,5445	0,5488	-0,5398	-0,8074	-0,6123	-0,6123	0,6559	0,6559	0,6559	1
LOG_S	0,8963	-0,1311	-0,6388	-0,6342	-0,6863	-0,6900	-0,6822	0,9002	0,7439	0,7439	-0,7640	-0,7640	-0,7640	1
Correlacion														
Total	8	0	18	19	21	22	21	8	23	24	21	21	21	21

PKA	PM	RM	VM	PARA	IR	TS	DENS	POLA	LOG_S
0,2798									
0,5455	0,9004								
0,6134	0,8761	0,9965							
0,5537	0,8978	1,0000	0,9973						
-0,9667	-0,5041	-0,7404	-0,7469						
-0,9418	-0,5665	-0,7934	-0,7994	0,9959					
-0,8915	-0,6600	-0,8635	-0,9023	0,9773	0,9918				
0,5452	0,9006	1,0000	0,9965	0,9999	-0,7932				
-0,6869	-0,8403	-0,9838	-0,9953	-0,9855	-0,7401	-0,8633			
21	0	6	8	7	22	8	4	6	

Correlations (demac1a sta)

	CFAM1	MUAM1	ELAM1	DIPAM1	LUAM1	HO_AM1	HO_LUAM1	CFPM3	MUPM3	ELPM3	DIPM3	LUPM3	HOPM3
CFAM1	1	-0,9851	0,9988	0,9982	0,9982	0,9999	0,9990	-0,9247	0,9484	0,9702	-0,9578	-0,9776	1
MUAM1	-0,9787	1	-0,9351	-0,9370	-0,9380	-0,9992	-0,9977	0,9484	0,9702	-0,9578	-0,9776	-0,9562	1
ELAM1	-0,9755	0,9982	1	-0,9987	-0,9992	-0,9992	-0,9992	-0,9977	0,9484	0,9702	-0,9578	-0,9776	1
DIPAM1	-0,9718	0,9986	0,9996	1	-0,9809	-0,9781	-0,9762	0,8815	0,9562	0,9685	0,9953	0,9975	1
LUAM1	0,8900	-0,9351	-0,9370	-0,9380	-0,9380	-0,9992	-0,9992	-0,9992	-0,9992	-0,9895	-0,9927	0,9744	1
HO_AM1	0,9680	-0,9959	-0,9983	-0,9995	-0,9988	-0,9996	-0,9996	-0,9996	-0,9996	-0,9983	-0,9792	0,9685	0,9953
HO_LUAM1	0,9991	-0,9862	-0,9862	-0,9809	-0,9781	-0,9762	-0,9762	-0,9762	-0,9762	-0,9673	-0,9673	0,9876	0,9975
CFPM3	0,9950	0,9950	0,9986	0,9986	0,9986	0,9986	0,9986	0,9986	0,9986	0,9986	0,9986	0,9986	0,9975
MUPM3	-0,9797	0,9777	0,9677	0,9652	0,9586	0,8942	0,8942	0,8942	0,8942	0,8942	0,8942	0,8942	0,9776
ELPM3	-0,9893	0,9862	0,9953	0,9943	0,9946	0,9041	0,9041	0,9041	0,9041	0,9041	0,9041	0,9041	0,9744
DIPM3	-0,9763	0,9983	0,9995	0,9995	0,9996	0,9334	0,9334	0,9334	0,9334	0,9334	0,9334	0,9334	0,9953
LUPM3	-0,9653	0,9950	0,9980	0,9980	0,9986	0,9986	0,9986	0,9986	0,9986	0,9986	0,9986	0,9986	0,9975
HOPM3	0,1236	0,0020	0,0132	0,0225	0,0179	-0,1576	-0,0430	-0,1221	-0,1221	-0,0575	-0,0562	0,0118	0,0571
HO_LUPM3	0,9671	-0,9516	-0,9506	-0,9479	-0,9478	0,8557	0,9420	0,9685	0,9353	-0,9648	-0,9506	-0,9371	0,2949
CFSP321G	-0,3901	0,5396	0,5697	0,5814	0,5864	0,6738	0,6085	0,3998	0,4185	0,5010	0,5753	0,6169	0,5534
MUSP321G	-0,9675	0,9917	0,9951	0,9956	0,9975	-0,9160	-0,9940	-0,9726	0,9587	0,9928	0,9968	0,9926	-0,0230
ELSP321G	-0,9669	0,9893	0,9923	0,9927	0,9950	-0,9068	-0,9903	-0,9725	0,9598	0,9918	0,9943	0,9886	-0,0423
DISP321G	-0,9660	0,9889	0,9921	0,9924	0,9946	-0,9084	-0,9903	-0,9714	0,9593	0,9910	0,9940	0,9886	-0,0424
LUSP321G	-0,9696	0,9915	0,9919	0,9918	0,9878	-0,9516	-0,9923	-0,9695	0,9541	0,9821	0,9893	0,9929	0,0893
HOSP321G	-0,6766	0,5884	0,5569	0,5476	0,5275	-0,5101	-0,5302	-0,6593	0,6531	0,5845	0,5453	0,5289	-0,0534
HO_LUSP	0,9564	-0,9896	-0,9936	-0,9945	-0,9925	0,9559	0,9970	0,9582	-0,9426	-0,9800	-0,9921	-0,9977	-0,1009
LOG_P	-0,3906	0,2296	0,1951	0,1811	0,1746	-0,0122	-0,1476	-0,3814	0,3449	0,2737	0,1881	0,1369	-0,6542
S	0,3631	-0,2657	-0,2197	-0,2099	-0,1874	0,1544	0,1836	0,3452	-0,4390	-0,2635	-0,2218	-0,1803	0,2092
BCF	-0,1049	-0,0505	-0,0697	-0,0823	-0,0864	0,1813	0,1043	-0,0944	0,0147	-0,0015	-0,0772	-0,1170	-0,9303
LOG_BCF	-0,3640	0,2017	0,1669	0,1528	0,1463	0,0152	-0,1192	-0,3547	0,3188	0,2460	0,1598	0,1084	-0,6573
KOC	-0,1743	0,0114	-0,0104	-0,0238	-0,0265	0,1541	0,0495	-0,1654	0,0824	0,0639	-0,0186	-0,0624	-0,8974
LOG_KOC	-0,4038	0,2437	0,2093	0,1953	0,1888	-0,0257	-0,1619	-0,3947	0,3585	0,2875	-0,0203	0,1511	-0,6516
PKA	-0,9700	0,9863	0,9992	0,9996	0,9994	-0,9371	-0,9994	-0,9734	0,9889	0,9924	0,9991	0,9990	0,0340
PM	0,0637	-0,2310	-0,2657	-0,2794	-0,2856	0,4149	0,3118	0,0740	-0,1023	-0,1867	-0,2725	-0,3220	-0,6460
RM	-0,0017	-0,1669	-0,2021	-0,2160	-0,2223	0,3582	0,2490	0,0086	-0,0384	-0,1221	-0,2090	-0,2594	-0,6557
VM	-0,3243	0,1601	0,1251	0,1109	0,1044	0,0552	-0,0771	-0,3149	0,2795	0,2049	0,1180	0,0663	-0,6624
PARA	-0,1637	-0,0050	-0,0406	-0,0548	-0,0613	0,2110	0,0886	-0,1537	0,1207	0,0404	-0,0476	-0,0994	-0,6679
IR	0,9979	-0,9761	-0,9643	-0,9613	0,8618	0,9613	0,9613	0,9978	-0,9793	-0,9838	-0,9660	-0,9510	0,1428
TS	0,9949	-0,9681	-0,9545	-0,9516	0,8447	0,9431	0,9948	-0,9774	-0,9775	-0,9567	-0,9395	0,1597	
DENS	0,9388	-0,8708	-0,8518	-0,8445	-0,8398	0,7045	0,8250	0,9359	-0,9160	-0,8902	-0,8487	-0,8191	0,3053
POLA	-0,0022	-0,1664	-0,2016	-0,2155	-0,2218	0,3576	0,2485	0,0081	-0,0378	-0,1216	-0,2085	-0,2589	-0,6559
LOG_S	0,3894	-0,2284	-0,1939	-0,1799	-0,1735	0,0106	0,1464	0,3803	-0,3440	-0,2726	-0,1869	-0,1356	-0,6554
Correlacion													
Total	19	19	19	19	18	18	18	3	17	19	19	19	0

	HO_LUPM3	CFSP321G	MUSP321G	ELSP321G	DISP321G	LUSP321G	HOSP321G	HO_LLSP	LOG_P	S	BCF	LOG_BCF
1	-0.3970	1	0.5862	0.9581	0.9993	1	1	0.9687	0.9692	0.9692	0.9692	1
-0.9610	0.5740	0.5769	0.9610	0.9992	1.0000	1	1	0.9981	-0.9777	-0.9777	-0.9961	1
-0.9191	0.5767	0.5248	0.9191	-0.5248	-0.1863	0.4895	0.4805	0.4769	0.6114	0.6114	0.6114	1
0.9196	-0.6345	-0.3597	0.9196	-0.3597	-0.6948	0.1720	0.1843	0.1806	0.1790	0.7045	-0.1119	1
0.2457	0.4667	-0.2132	0.2457	-0.2132	-0.7146	-0.0665	-0.0517	-0.0523	-0.1117	0.2697	0.1490	-0.7410
-0.3335	-0.7152	-0.2539	-0.3335	-0.2539	-0.7347	-0.0126	0.0020	0.0003	-0.0473	0.3756	0.0923	-0.7429
-0.3724	-0.6843	-0.9442	-0.3724	-0.9442	0.1862	0.1984	0.1947	0.1931	0.7109	-0.1262	0.9999	0.7910
0.0823	-0.9437	0.0823	0.0823	-0.9437	-0.2823	-0.2866	-0.2734	-0.2769	-0.2774	0.4406	-0.0834	-0.7397
0.0190	-0.9200	-0.2950	0.0190	-0.2950	-0.7440	-0.2236	-0.2103	-0.2139	-0.2146	0.4849	0.2826	-0.4178
-0.1383	-0.8442	-0.3456	-0.1383	-0.3456	-0.9602	-0.0632	-0.0500	-0.0537	-0.0549	0.6728	-0.0413	0.9975
0.9550	-0.3137	-0.8907	0.9550	-0.3137	-0.8907	-0.9476	-0.9487	-0.9473	-0.9465	-0.7109	0.9281	-0.6570
0.0185	-0.9198	0.3589	0.0185	0.3589	-0.2231	-0.2098	-0.2134	-0.2141	-0.4854	0.8024	-0.6761	-0.7350
0.6957	-0.1710	-0.1796	0.6957	-0.1710	-0.1833	-0.1796	-0.1776	-0.1766	-0.1763	0.9213	-0.6572	-0.7350
13	0	18	18	18	18	18	18	18	18	16	0	0

KOC	LOG_KOC	PKA	PM	RM	VM	PARA	IR	TS	DENS	POLA
1	0.8677	0.1737	1	-0.2375	0.9979	1				
	-0.0413	0.8814	0.9964	0.0891	0.9232	0.9464				
	0.8589	0.8886	0.9686	-0.0767	0.9740	0.9868	0.9862	1		
	0.9154	-0.2027	-0.4474	-0.9580	0.0157	-0.0497	-0.3695	-0.2109		
	0.8721	-0.2260	-0.4769	-0.9475	-0.0178	-0.0831	-0.4003	-0.2435	1	
	0.8814	-0.4272	-0.6867	-0.8322	-0.2751	-0.3373	-0.6224	-0.4851	0.9658	1
	0.8886	0.8722	0.9156	-0.2370	0.9978	1,0000	0.9465	0.9561	-0.0836	-0.3377
	-0.2027	-0.8714	-0.9999	-0.1583	-0.8942	-0.9216	-0.9976	0.9868	-0.0502	0.6752
	0.8677	5	17	3	3	5	5	8	19	12
	-0.0413	1	1	1	1	1	1	1	1	2
	0.8589	0.8886	0.9154	0.8721	0.8814	0.9156	0.9154	0.8722	0.8814	3

Correlations (azona1a.sta)

	CFAM1	MUAM1	ELAM1	DIPAM1	LUAM1	HOAM1	HO_LUAM1	CFPM3	MUPM3	ELPM3	DIPM3	LUPM3	HOPM3
CFAM1	1												
MUAM1	0,9507	1											
ELAM1	0,8257	0,9586	1										
DIPAM1	0,8543	0,9706	0,9963	1									
LUAM1	-0,9644	-0,9984	-0,9440	-0,9581	1								
HOAM1	-0,9331	-0,9465	-0,8916	-0,9093	0,9576	1							
HO_LUAM1	0,9592	0,9981	0,9446	0,9575	-0,9972	-0,9333	1						
CFPM3	0,9989	0,9487	0,8253	0,8543	-0,9636	-0,9456	0,9549	1					
MUPM3	0,9543	0,9998	0,9552	0,9681	-0,9986	-0,9459	0,9985	0,9521	1				
ELPM3	0,9202	0,9938	0,9705	0,9774	-0,9868	-0,9101	0,9931	0,9145	0,9932	1			
DIPM3	0,9516	0,9995	0,9559	0,9693	-0,9875	-0,9413	0,9983	0,9488	0,9996	0,9944	1		
LUPM3	-0,9573	-0,9982	-0,9464	-0,9588	0,9571	0,9331	-0,9999	-0,9530	-0,9985	-0,9939	-0,9985	1	
HOPM3	-0,5200	-0,6839	-0,7491	-0,7206	0,6632	0,5498	-0,6834	-0,5081	-0,6814	-0,7395	-0,6906	0,6911	1
HO_LUPM3	0,9338	0,8797	0,7671	0,8026	-0,8919	-0,8817	0,8823	0,9360	0,8818	0,8370	0,8756	-0,8773	-0,2593
CFSP321G	0,9338	0,8797	0,7671	0,8026	-0,8919	-0,8817	0,8823	0,9360	0,8818	0,8370	0,8756	-0,8773	-0,2593
MUSP321G	-0,8308	-0,8580	-0,8231	-0,8350	0,8667	0,9129	-0,8427	-0,8435	-0,8530	-0,8205	-0,8441	0,8403	0,3377
ELSP321G	-0,8672	-0,8842	-0,8328	-0,8497	0,8940	0,9293	-0,8724	-0,8778	-0,8800	-0,8485	-0,8731	0,8703	0,3795
DISP321G	-0,8659	-0,8869	-0,8378	-0,8538	0,8954	0,9230	-0,8758	-0,8754	-0,8826	-0,8538	-0,8757	0,8737	0,3857
LUSP321G	-0,9632	-0,9988	-0,9441	-0,9577	0,9993	0,9462	-0,9993	-0,9606	-0,9992	-0,9904	-0,9986	0,9992	0,6751
HOSP321G	-0,9646	-0,9990	-0,9425	-0,9563	0,9994	0,9472	-0,9991	-0,9621	-0,9990	-0,9896	-0,9983	0,9990	0,6723
HO_LUSP	0,9616	0,9990	0,9459	0,9592	-0,9992	-0,9451	0,9994	0,9589	0,9993	0,9913	0,9988	-0,9994	-0,6783
LOG_P	-0,8948	-0,7185	-0,5069	-0,5554	0,7534	0,7917	-0,7330	-0,9013	-0,7261	-0,6500	-0,7194	-0,7285	-0,1712
S	0,3859	0,1452	-0,1028	-0,0863	-0,1902	-0,1970	0,1859	0,3815	0,1521	0,0975	0,1423	-0,1833	0,0322
BCF	-0,9717	-0,9969	-0,9342	-0,9606	0,9988	0,9501	-0,9977	-0,9696	-0,9976	-0,9846	-0,9965	0,9972	0,6416
LOG_BCF	-0,8926	-0,7150	-0,5026	-0,5511	0,7501	0,7891	-0,7296	-0,8991	-0,7226	-0,6462	-0,7158	0,7251	0,1674
KOC	-0,9827	-0,9902	-0,9140	-0,9346	0,9949	0,9535	-0,9919	-0,9815	-0,9916	-0,9722	-0,9900	0,9908	0,5976
LOG_KOC	-0,8833	-0,7006	-0,4851	-0,5344	0,7365	0,7780	-0,7156	-0,8900	-0,7084	-0,6306	-0,7015	0,7110	0,1507
PKA	-0,9615	-0,9988	-0,9460	-0,9587	0,9996	0,9512	-0,9984	-0,9597	-0,9989	-0,9898	-0,9981	0,9985	0,6793
PM	-0,5822	-0,3087	-0,0490	-0,1076	0,3576	0,4482	-0,3291	-0,5930	-0,3192	-0,2185	-0,3102	0,3228	-0,2314
RM	-0,7161	-0,4713	-0,2223	-0,2787	0,5163	0,5899	-0,4901	-0,7255	-0,4810	-0,3867	-0,4726	0,4843	-0,0867
VM	-0,8314	-0,6246	-0,3950	-0,4473	0,6641	0,7175	-0,6411	-0,8391	-0,6332	-0,5486	-0,6256	0,6360	0,0662
PARA	-0,7803	-0,5547	-0,3150	-0,3694	0,5970	0,6601	-0,5723	-0,7889	-0,5639	-0,4744	-0,5559	0,5669	-0,0057
IR	0,9959	0,9254	0,7850	0,8156	-0,9439	-0,9314	0,9342	-0,9213	0,9294	0,8869	0,9255	-0,9320	-0,4802
TS	0,9919	0,9122	0,7649	0,7964	-0,9327	-0,9269	0,9163	0,9163	0,9120	-0,9190	-0,4610		
DENS	0,9777	0,8710	0,7040	0,7395	-0,8958	-0,9013	0,8820	0,9809	0,8770	0,8721	-0,8793	-0,3973	
POLA	-0,7158	-0,4710	-0,2219	-0,2783	0,5160	0,5895	-0,4897	-0,7252	-0,4807	-0,3863	-0,4723	-0,4839	-0,0870
LOG_S	0,8947	0,7183	0,5067	0,5551	-0,7532	-0,7918	0,7328	0,9011	0,7259	0,6497	0,7191	-0,7283	-0,1704
Correlacion													
Total	16	15	5	13	3	4	15	13	16	15	17	15	0

HO_LUPM3	CFSP321G	MUSP321G	ELSP321G	DISP321G	LUSP321G	HOSP321G	HO_LUSP	LOG_P	S	BCF	LOG_BCF
1	1	1	1	1	1	1	1	1	1	1	1
-0.8986	-0.8986	0.9935	1	0.9994	1	0.9990	1	1	1	1	1
-0.9109	-0.9109	0.9926	1	0.9994	1	0.9990	1	1	1	1	1
-0.9113	-0.9113	0.9926	1	0.9994	1	0.9990	1	1	1	1	1
-0.8868	-0.8868	0.8531	0.8818	0.8842	0.8853	0.8853	0.8853	0.9999	-0.9999	-0.7413	-0.7413
-0.8885	-0.8885	0.8542	0.8831	0.8842	0.8853	0.8853	0.8853	0.7455	0.7491	-0.1907	-0.1907
-0.8849	-0.8849	0.8849	-0.8518	-0.8804	-0.8828	-0.8828	-0.8828	-0.1906	-0.1906	-0.1952	-0.1952
-0.8598	-0.8598	0.6890	0.7274	0.7179	0.7455	0.7455	0.7455	0.7491	0.7491	0.1854	0.1854
0.2663	0.2663	-0.1523	-0.1956	-0.1907	-0.1906	-0.1906	-0.1906	-0.1952	-0.1952	-0.6211	-0.6211
-0.9064	-0.9064	0.8635	0.8919	0.8939	0.9990	0.9991	0.9987	0.9987	0.9987	0.7684	0.7684
-0.8577	-0.8577	0.6865	0.7249	0.7153	0.7421	0.7458	0.7458	-0.7379	1,0000	-0.6238	0.7652
-0.9270	-0.9270	0.8685	0.8973	0.8985	0.9941	0.9946	0.9935	0.9935	0.9935	0.8042	0.8042
-0.8499	-0.8499	0.6758	0.7142	0.7043	0.7284	0.7321	0.7321	-0.7240	0.9997	-0.6319	0.7520
-0.8830	-0.8830	0.8584	0.8866	0.8887	0.9997	0.9997	0.9997	0.9997	0.9997	0.7436	0.7436
-0.5850	-0.5850	0.3673	0.4013	0.3864	0.3460	0.3511	0.3511	-0.3401	0.8833	-0.7420	0.3789
-0.7046	-0.7046	0.4985	0.5352	0.5218	0.5098	0.5105	0.5105	-0.5003	0.9520	-0.7177	0.5559
-0.8058	-0.8058	0.6185	0.6566	0.6454	0.6550	0.6592	0.6592	-0.6502	0.9919	-0.6686	0.6812
-0.7613	-0.7613	0.5643	0.6018	0.5896	0.5872	0.5916	0.5916	-0.5821	0.9773	-0.6948	0.6154
0.9265	0.9265	-0.8250	-0.8616	-0.8581	-0.9407	-0.9425	-0.9425	0.9385	-0.9261	0.4449	-0.9509
0.9218	0.9218	-0.8205	-0.8575	-0.8533	-0.9286	-0.9307	-0.9307	0.9262	-0.9372	0.4707	-0.9397
0.9111	0.9111	-0.7930	-0.8311	-0.8255	-0.8908	-0.8934	-0.8934	0.8879	-0.9646	0.5276	-0.9047
-0.7045	-0.7045	0.4982	0.5348	0.5215	0.5055	0.5102	0.5102	-0.5000	0.9519	-0.7178	0.5356
0.8600	0.8600	-0.6894	-0.7277	-0.7182	-0.7453	-0.7489	-0.7489	0.7410	-1,0000	0.6210	-0.7683
1	1	2	2	2	2	2	2	15	14	8	0
								15	15	17	1

KOC	LOG_KOC	PKA	FM	RM	VM	PARA	IR	TS	DENS	POLA
0.7889										
0.9931	0.7265									
0.4326	0.8949	0.3435								
0.5843	0.9595	0.5035	0.9844							
0.7227	0.9948	0.6529	0.9356	0.9831						
0.6603	0.9823	0.5850	0.9626	0.9953						
-0.9855	-0.9163	-0.9399	-0.6421	-0.7669	-0.8711	-0.8255				
-0.9557	-0.9283	-0.6662	-0.7868	-0.8860	-0.8428	0.9993				
-0.9257	-0.9578	-0.8902	-0.7313	-0.8396	-0.9242	-0.8881	0.9958			
0.5840	0.9594	0.5031	0.9844	1.0000	0.9831	0.9952	-0.7867			
-0.8040	-0.9997	-0.7434	-0.8834	-0.9521	-0.9920	-0.9773	0.9260	0.9371		
17	7	16	3	7	7	8	6	5	8	8

Correlations (azona2a.sta)

	CFAM1	MUAM1	ELAM1	DIPAM1	LUAM1	HOAM1	HO_LUAM1	CFPM3	MUPM3	ELPM3	DIPM3	LUPM3	HOPM3	HO_LUPM3
CFAM1	1													
MUAM1	-0.9202	1												
ELAM1	-0.9437	0.9945	1											
DIPAM1	-0.9426	0.9942	1,0000	1										
LUAM1	-0.9523	0.9795	0.9951	0.9955	1									
HOAM1	-0.9600	0.9812	0.9969	0.9960	0.9995	1								
HO_LUAM1	0.9513	-0.9793	-0.9950	-0.9954	-1,0000	-0.9994	1							
CFPM3	0.9996	-0.9286	-0.9516	-0.9507	-0.9601	-0.9671	-0.9592	1						
MUPM3	-0.9504	0.9808	0.9957	0.9961	1,0000	0.9994	-1,0000	-0.9584	1					
ELPM3	-0.9576	0.9796	0.9952	0.9955	0.9998	0.9999	-0.9997	-0.9649	0.9997	1				
DIPM3	-0.9520	0.9801	0.9954	0.9958	1,0000	0.9995	-1,0000	-0.9598	1,0000	0.9998	1			
LUPM3	-0.9520	0.9798	0.9952	0.9956	1,0000	0.9995	-1,0000	-0.9599	1,0000	0.9998	-1,0000	1		
HOPM3	-0.9515	0.9797	0.9952	0.9956	1,0000	0.9994	-1,0000	-0.9594	1,0000	0.9998	1,0000	1		
HO_LUPM3	0.9523	-0.9798	-0.9953	-0.9956	-1,0000	-0.9995	1,0000	0.9601	-1,0000	-0.9998	-1,0000	-1,0000	1	
CFSP321G	-0.3256	0.6216	0.6059	0.6098	0.5958	0.5744	-0.5984	-0.3506	0.6007	0.5814	0.5988	0.5965	0.5979	-0.5959
MUSP321G	-0.9518	0.9809	0.9958	0.9961	1,0000	0.9995	-0.9999	-0.9596	1,0000	0.9998	1,0000	1,0000	1,0000	-1,0000
ELSP321G	-0.9545	0.9805	0.9956	0.9959	0.9999	0.9997	-0.9999	-0.9621	0.9999	0.9999	0.9999	0.9999	0.9999	-0.9999
DISP321G	-0.9551	0.9802	0.9955	0.9958	0.9999	0.9998	-0.9999	-0.9627	0.9999	0.9999	0.9999	0.9999	0.9999	-0.9999
LUSP321G	-0.9526	0.9801	0.9954	0.9958	1,0000	0.9996	-1,0000	-0.9604	1,0000	0.9998	1,0000	1,0000	1,0000	-1,0000
HOSP321G	-0.6334	0.3566	0.3774	0.3729	0.3806	0.4069	-0.3774	-0.6134	0.3754	0.3973	0.3799	0.3799	0.3783	-0.3807
HO_LUSP	0.9415	-0.9802	-0.9949	-0.9954	-0.9994	-0.9980	0.9999	0.9502	-0.9996	-0.9986	-0.9994	-0.9994	-0.9995	0.9994
LOG_P	-0.2950	-0.0540	-0.0248	-0.0295	-0.0106	0.0161	0.0139	-0.2693	-0.0167	0.0072	-0.0118	-0.0115	-0.0132	0.0107
S	0.3856	-0.1991	-0.1935	-0.1886	-0.1736	-0.2000	0.1704	0.3678	-0.1700	-0.1887	-0.1739	-0.1732	-0.1715	0.1740
BCF	-0.0724	-0.2317	-0.2032	-0.2062	-0.1833	-0.1649	0.1855	-0.0504	-0.1876	-0.1687	-0.1844	-0.1840	-0.1852	0.1834
LOG_BCF	-0.2173	-0.1404	-0.0990	-0.1031	-0.0724	-0.0493	0.0752	-0.1930	-0.0789	-0.0561	-0.0737	-0.0733	-0.0749	0.0726
KOC	-0.1040	-0.2222	-0.1910	-0.1944	-0.1698	-0.1496	0.1723	-0.0805	-0.1747	-0.1544	-0.1710	-0.1706	-0.1719	0.1700
LOG_KOC	-0.3050	-0.0437	-0.0143	-0.0190	-0.0002	0.0266	0.0035	-0.2794	-0.0063	0.0176	-0.0013	-0.0010	-0.0028	0.0003
PKA	-0.9524	0.9798	0.9953	0.9956	1,0000	0.9995	-1,0000	-0.9602	1,0000	0.9998	1,0000	1,0000	1,0000	-1,0000
PM	0.0867	-0.3321	-0.3464	-0.3521	-0.3693	-0.3403	0.3728	0.1126	-0.3727	-0.3520	-0.3693	-0.3697	-0.3714	0.3689
RM	-0.1325	-0.2155	-0.1894	-0.1940	-0.1763	-0.1499	0.1795	-0.1059	-0.1823	-0.1587	-0.1774	-0.1771	-0.1788	0.1764
VM	-0.3050	-0.0437	-0.0143	-0.0190	-0.0002	0.0266	0.0035	-0.2794	-0.0063	0.0176	-0.0013	-0.0010	-0.0028	0.0003
PARA	-0.1736	-0.1756	-0.1486	-0.1533	-0.1352	-0.1087	0.1385	-0.1471	-0.1413	-0.1175	-0.1363	-0.1361	-0.1378	0.1353
IR	0.9904	-0.9603	-0.9792	-0.9787	-0.9849	-0.9893	0.9843	0.9937	-0.9839	-0.9879	-0.9848	-0.9848	-0.9849	0.9849
TS	0.9988	-0.9327	-0.9543	-0.9533	-0.9614	-0.9686	0.9605	0.9993	-0.9598	-0.9662	-0.9612	-0.9607	-0.9614	0.9614
DENS	0.9532	-0.7828	-0.8091	-0.8065	-0.8178	-0.8334	0.8158	0.9449	-0.8143	-0.8280	-0.8172	-0.8173	-0.8163	0.8177
POLA	-0.1331	-0.2149	-0.1888	-0.1935	-0.1757	-0.1493	0.1790	-0.1065	-0.1817	-0.1582	-0.1768	-0.1766	-0.1783	0.1758
LOG_S	0.2934	0.0557	0.0265	0.0311	0.0123	-0.0145	-0.0156	0.2677	0.0184	-0.0055	0.0134	0.0131	0.0149	-0.0124
Total	18	18	20	20	21	21	21	20	21	21	21	21	21	22

PM	RM	VM	PARA	IR	TS	DENS	POLA
0,9156	1						
0,8641	0,9844	1					
0,9060	0,9991	0,9908	1				
0,2101	0,0046	-0,1715	-0,0369	1			
0,1145	-0,0989	-0,2725	-0,1401	0,9942	1		
-0,2035	-0,4182	-0,5712	-0,4555	0,9047	0,9444	1	
0,9155	1,0000	0,9845	0,9992	0,0041	-0,0995	-0,4188	1
-0,8682	-0,9864	-0,9999	-0,9924	0,1596	0,2609	0,5614	-0,9865
0	7	6	6	21	21	1	6

REFERENCIAS BIBLIOGRÁFICAS

1. Burger, A.; "Medicinal Chemistry"; 3^a Ed. New York.; Wiley; 1970.
2. A. Ganem, Uso de Promotores de Absorción Percutánea. Ciencia Cosmética. 4(2) (Abr-Jun 1998) pp 19-25.
3. G. Allan, E.W. Smith, Azone® Percutaneus Penetration Enhancers. CRC Press, Florida, 1995, pp 129-136.
4. A. Ganem-Quintanar, Mechanisms of Oral Permeation Enhancement. Int. J. Pharm. 156 (1997) pp 127-142.
5. J. Handgraft, Mechanism of Action of Skin Penetration Enhancers/Retarders: Azone and Analogues. Int. J. Pharm. 141 (1996) pp 17-25.
6. B.W. Barry, Mode of Action of Penetration Enhancers in human Skin. J. Contr. Rel. 6 (1987) pp 85-97.
7. S.A. Akhter, Penetration Enhancers in Human Skin - Effect of Oleic acid and Azone on Florbiofen Permeation. J. Pharm. Pharmacol. 36 (1984) p.7.
8. S. Ganga, Effect of Azone on the Iontophoretic Transdermal Delivery of Metoprolol Tartrate through Human Epidermis in vitro. Int. J. Pharm. 42 (1996) pp 57-64.
9. A. Ruland, Transdermal Delivery of the Tetrapeptide hiset al (Melanotropin 1-9) II. Effect of Various Penetration Enhancers. In vitro study Across Human Skin. Int. J. Pharm. 103 (1994) pp. 77-80.

10. V.I. Rosendo Estudio del Efecto de Dos Promotores de Absorción (Azona y 4-Deciloxazolidon-2-oná) sobre la Penetración de Fármacos a través de Mucosa oral no queratinizada, Tesis de Licenciatura, UNAM FESC-1 (1999).
11. V.J. Rajadhyaksha, U.S. Patent 3, 989, 815, 1976.
12. T. Clark; "A Handbook of Computational Chemistry"; Wiley; New York; 1986
13. Warren J. Hehrne ; "A Brief Guide to Molecular Mechanics and Quantum Chemical Calculations"; Wavefunction Inc.;3a Irvine California; 1998.
14. A Brief Guide to Molecular Mechanics and Quantum Chemical Calculations[®] SPARTAN Version 3.2 User's Guide, Wavefunction Inc. California U.S.A. 1998.
15. I.N.Levine; "Quantum Chemistry"; Prentice; 4a Ed. New Jersey; 1991
16. Lopéz Cervantes M., Estudio del laurocapram (Azona) y 4- deciloxazolidin-2-oná (Dermac) sobre la barrera de permeabilidad de la piel mediante pruebas de infrarrojo, perdida de agua transepidermal y estudios de permeación *in vitro*. Tesis de Maestría en Ciencias, UNAM FESC-1 (2003).
17. Mc Murry; "Química Orgánica"; Grupo Editorial Iberoamérica; México; 4^a Ed 1994.
18. Morrison y Boyd; "Química Orgánica"; Addison-Wesley Iberoamericana; USA, 2^a 1990.
19. William H. Reusch; "Química Orgánica"; Mc Graw Hill; 10a Ed. México 1991

20. <http://www.wavefunction.com>(2003)

21. <http://www.ffyb.uba.ar/Farmacotecnia%20I/Enhancers.htm>